



Fakulta elektrotechnická
Katedra elektrotechniky a informačních technologií

DIPLOMOVÁ PRÁCE

Řízení linky E-robot PLC automatem

Autor práce: Bc. David Forejtek
Vedoucí práce: Ing. Jiří Basl, Ph.D

Plzeň 2021

ZÁPADOČESKÁ UNIVERZITA V PLZNI

Fakulta elektrotechnická

Akademický rok: 2020/2021

ZADÁNÍ DIPLOMOVÉ PRÁCE

(projektu, uměleckého díla, uměleckého výkonu)

Jméno a příjmení: **Bc. David FOREJTEK**

Osobní číslo: **E18N0003K**

Studijní program: **N2644 Aplikovaná elektrotechnika**

Studijní obor: **Aplikovaná elektrotechnika**

Téma práce: **Řízení linky E-robot PLC automatem**

Zadávající katedra: **Katedra elektroenergetiky**

Zásady pro vypracování

1. Rozdelení řídících systémů Siemens Simatic, možnosti jejich uplatnění, technické parametry řídícího systému S7-1515 pro robotické pracoviště E-robot.
2. Naprogramování softwaru PLC automatu Siemens CPU1515-PN robotického pracoviště E-robot.
3. Vytvoření vizualizace robotického pracoviště E-robot pro operátorský panel Siemens TP1900.
4. Rešerše alternativ virtuálního zprovoznění robotických pracovišť a vygenerování podkladů pro simulaci pracovišť.

Rozsah diplomové práce: **40 – 60 stran**
Rozsah grafických prací: **podle doporučení vedoucího**
Forma zpracování diplomové práce: **tištěná/elektronická**

Seznam doporučené literatury:

1. Technické parametry řídících systémů S7, firemní dokumentace

Vedoucí diplomové práce: **Ing. Jiří Basl, Ph.D.**
Katedra elektroniky a informačních technologií

Datum zadání diplomové práce: **9. října 2020**
Termín odevzdání diplomové práce: **27. května 2021**



Prof. Ing. Zdeněk Peroutka, Ph.D.
děkan

Doc. Ing. Karel Noháč, Ph.D.
vedoucí katedry

V Plzni dne 9. října 2020

Abstrakt

Práce se věnuje návrhu a realizaci software pro PLC a HMI experimentálního robotického pracoviště pro výrobu ptačích budek. Architektura software je založena zejména na objektově orientovaném přístupu a modularitě. Pro popis jednotlivých programových modulů jsou ve velké míře využívány metody abstrakce a generalizace. Výsledkem práce je software otestovaný ve virtuálním prostředí Process Simulate. Potvrzení funkčnosti proběhlo na reálném pracovišti.

Klíčová slova

PLC, HMI, modularita, generalizace, abstrakce

Abstract

The thesis deals with the design and implementation of software for PLC and HMI of the experimental robotic workplace for the production of birdhouse. The software architecture is mainly based on an object-oriented approach and modularity. Abstraction and generalization principles are widely used to describe individual program modules. The implemented software was tested in the virtual environment of the Process Simulate software. The verification of functionality took place at a real workplace.

Keywords

PLC, HMI, Modularity, Generalization, Abstraction

Prohlášení

Předkládám tímto k posouzení a obhajobě diplomovou práci, zpracovanou na závěr studia na Fakultě elektrotechnické Západočeské univerzity v Plzni.

Prohlašuji, že jsem svou závěrečnou práci vypracoval samostatně pod vedením vedoucího diplomové práce a s použitím odborné literatury a dalších informačních zdrojů, které jsou všechny citovány v práci a uvedeny v seznamu literatury na konci práce. Jako autor uvedené diplomové práce dále prohlašuji, že v souvislosti s vytvořením této závěrečné práce jsem neporušil autorská práva třetích osob, zejména jsem nezasáhl nedovoleným způsobem do cizích autorských práv osobnostních a jsem si plně vědom následků porušení ustanovení § 11 a autorského zákona č. 121/2000 Sb., včetně možných trestně-právních důsledků vyplývajících z ustanovení § 270 tresního zákona č. 40/2009 Sb.

Také prohlašuji, že veškerý software, použitý při řešení této diplomové práce, je legální.

V Plzni dne 27. května 2021

Bc. David Forejtek

.....
Podpis

Obsah

Seznam obrázkù	vii
Seznam tabulek	viii
Seznam symbolů a zkratek	ix
1 Úvod	1
2 Řídící systém SIMATIC	2
2.1 Modularita	2
2.2 Dělení série S7	2
2.3 Porovnání parametrů	3
2.4 Technické parametry CPU1515F-2 PN	5
3 Pracoviště E-Robot	6
3.1 Výrobek	6
3.2 Aktuátory	7
3.3 Sekvence pracoviště	8
3.3.1 Slovní popis sekvence	10
3.4 Roboti	11
3.4.1 Lemovací robot	12
3.4.2 Manipulační robot	12
3.4.3 Svařovací robot	13
3.5 110010 - lemování podlahy	14
3.6 110020 - lemování střechy	16
3.7 110050 - svařovací stanice	19
3.7.1 110051 - svařovací přípravek podlahy	20
3.7.2 110052 - svařovací přípravek střechy	23
4 Softwarová architektura	26
4.1 Obecné požadavky:	26
4.2 Komponenty	27
4.2.1 Architektura komponent	27

4.2.2	Synchronizace mezi komponentami:	28
4.2.3	Komponenta PLC programu	28
4.2.4	Komponenta PLC safety programu	30
5	Design komponenty PLC	32
5.1	Actuator	32
5.2	Station	34
5.3	Station Mode	35
5.4	FSM	36
5.5	Sequencer	42
5.6	Robot	43
6	Design komponenty HMI	45
6.1	Obrazovky HMI	45
6.1.1	Hlavní přehled	45
6.1.2	Obrazovka stanice	46
6.2	Ikony	48
6.2.1	Válec	48
6.2.2	Motor	48
6.3	Vyskakovací okna	48
6.3.1	Aktuátor	49
6.3.2	Stanice	49
6.3.3	FSM	50
7	Virtuální zprovoznění	52
7.1	Softwarové alternativy	52
7.2	Process Simulate	53
7.2.1	Simulační sestava	53
7.2.2	Roboti	54
8	Závěr	55

Seznam obrázků

3.1	Model hotového výrobku	7
3.3	Celková výrobní sekvence pracoviště	8
3.2	Layout pracoviště	9
3.4	Jednotlivé kroky procesu lemování podlahy	14
3.5	Stavový automat lemovacího přípravku	15
3.6	Sekvence stanice 110010	15
3.7	Pracovní pozice lemovacího přípravku 110010	16
3.8	Jednotlivé kroky procesu lemování střechy	17
3.9	Stavový automat stanice 110020	17
3.10	Sekvence pracoviště 110020	18
3.11	Pracovní pozice stanice 110020	19
3.12	Automatická sekvence svařovací stanice	20
3.13	Jednotlivé kroky procesu sváření v přípravku 110051	20
3.14	Stavový automat stanice AFO51	21
3.15	Automatická sekvence svařovacího přípravku 110051	21
3.16	Pracovní pozice svařovacího přípravku 110051	22
3.17	Hotová podsestava střechy po zavaření kroužků	23
3.18	Stavový automat stanice AFO52	23
3.19	Pracovní pozice svařovacího přípravku 110052	24
3.20	Automatická sekvence přípravku 110052	24
4.1	Rozdělení na komponenty	27
4.2	Synchronizace mezi komponentami	28
4.3	Komponenta PLC programu	29
4.4	Interface mezi PLC a HMI	29
4.5	Komponenta safety PLC programu	30
4.6	Komponenta HMI programu	31
5.1	Stavový automat aktuátoru	32
5.2	Design modulu stanice	34
5.3	Ukázka stavového automatu lemovacího přípravku	36
5.4	Implementace stavového automatu	37

5.5	Modelový stavový automat automatické sekvence	42
5.6	Komunikace mezi PLC a robotem	43
5.7	Blokování zóny robotem po dokončení činnosti	44
5.8	Ztráta povolení	44
6.1	Hlavní obrazovka	46
6.2	Obrazovka stanice 110010	47
6.3	Obrazovka robota KUKA	47
6.4	Způsob zobrazení válce na hlavní obrazovce	48
6.5	Způsob zobrazení motoru na hlavní obrazovce	48
6.6	Vyskakovací obrazovka pro ovládání aktuátoru	49
6.7	Vyskakovací obrazovka stanice	50
6.8	Vyskakovací obrazovka FSM	51

Seznam tabulek

2.1	Porovnání parametrů PLC různých řad	3
2.2	Podporované programovací prostředí	4
2.3	Hardware požadavky na programovací prostředí	4
2.4	Podporované programovací jazyky pro jednotlivé PLC	4
2.5	Technické parametry CPU1515-PN	5
3.1	Typy robotických operací	11
3.2	Operace prováděné robotem KUKA	12
3.3	Operace prováděné robotem FANUC	13
3.4	Operace prováděné robotem FANUC	14
3.5	Stavy zakladacího přípravku	14
3.6	Poloha naklápacího mechanismu	23
5.1	Provozní módy stanice	35
5.2	Interface FSM	35
5.3	Interface FSM	37
5.4	Řídící signály komunikace PLC robot	43

Seznam symbolů a zkratek

DB	Data Block. Datový blok.
ES	Emergency Stop. Nouzový stop.
FB	Function Block. Funkční blok.
FC	Function. Funkce.
FSM	Finite State Machine. Konečný stavový automat.
gDB	Global Data Block. Globální datový blok.
HMI	Human Machine Interface. Rozhraní mezi člověkem a strojem.
iDB	Instance Data Block. Instanční datový blok.
OB	Organization Block. Organizační blok.
PLC	Programmable Logic Controller. Programovatelný logický automat.

1

Úvod

Závěrečná práce se zabývá popisem softwarové architektury a designu PLC a HMI programu, užitého pro řízení experimentálního robotického pracoviště E-Robot.

Pracoviště je zkonstruované k automatizované výrobě ptačích budek a jeho účelem je praktické ověření trendů v oblasti průmyslu 4.0, zejména virtuálního zprovoznění. Praktickým cílem práce bylo odladění zmíněného software v rámci simulačního programu Process Simulate a následná verifikace správnosti návrhu na reálném pracovišti.

První část práce se věnuje obecně řídícím systémům Siemens Simatic a podrobněji popisuje použitý řídící systém z hlediska technických parametrů.

Konstrukce robotického pracoviště společně s celkovým výrobním cyklem je popsána v kapitole 3. Součástí je i popis všech pracovních stanic pracoviště spolu s jejich pracovním cyklem. Závěry jednotlivých částí kapitoly slouží jako základ pro implementaci řídícího software.

Těžiště práce tvoří kapitoly 4, 5 a 6. Ty detailně popisují způsob jakým byl řídící software navržen a následně implementován. Při návrhu software byla snaha v maximálně možné míře využít principů objektově orientovaného návrhu.

V kapitole je vysvětleno dělení software na komponenty a moduly a je představen způsob výměny informací mezi těmito celky. Každý modul je potom podrobně představen v konkrétní podkapitole.

Poslední kapitola se stručně věnuje virtuálnímu zprovoznění.

2

Řídící systém SIMATIC

Kapitola představí základní vlastnosti a vývojové řady PLC značky Siemens a uvede jejich rozdělení. Následně se zaměří na popis základních technických parametrů v současnosti používaných řad S7-300, S7-1200 a S7-1500. Závěr kapitoly se detailněji věnuje popisu použitého PLC pro řízení pracoviště E-Robot.

2.1 Modularita

Siemens PLC mohou tvořit modulární systém složený z CPU jednotky a dodatečných karet. Karty nejčastěji rozšiřují počet vstupů a výstupů systému nebo zajíšťují specializované funkce (komunikace po sériové lince, zpracování hodnot z termočlánku apod.). Maximální možný počet připojených karet je pak různý v závislosti na CPU.

Podpora rozšiřujících karet pro konkrétní PLC se liší podle řady PLC a je nutné ji při návrhu zohlednit. Obecně ale platí, že systém je dostatečně konfigurovatelný a spektrum vyráběných produktů natolik široké, že splnit běžné požadavky pro řízení není problém.

Dalším způsobem rozšíření systému jsou distribuované IO kontroléry. Ty tvoří separátní ostrov rozšiřujících karet připojených k oddělenému specializovanému IO kontroléru. Ten pak s PLC komunikuje po nějakém typu sběrnice (pro Siemens je to typicky ProfiNET).

2.2 Dělení série S7

Na trhu jsou v dnešní době dostupná PLC série S7. Starší série C3, S3 a S5 jsou dnes již zastaralé a v nových aplikacích se nenasazují, proto se jimi tato kapitola nebude zabývat.

Série S7 se dělí do následujících tříd [1]:

- S7-200

V dnešní době nepoužívaná třída, jejíž výroba byla v roce 2017 ukončena. Je vhodná pro malé aplikace do několika desítek I/O.

- S7-300

Jedná se o pokročilejší, do dnes používanou třídu PLC, která je vhodná pro řízení náročnějších aplikací. Třída je zde uvedena pro porovnání z hlediska výkonu a nabízených možností oproti moderním typům PLC.

- S7-400

Oproti S7-300 se jedná o výkonější řadu vhodnou pro datově náročnější aplikace [2]. Uplatnění naleze například v těžkém průmyslu a pohonářských aplikacích. Protože se tyto aplikace vymykají zaměření práce, nebude řada S7-400 detailněji popisována.

- S7-1200

Nová třída PLC představená v roce 2012 spolu s S7-1500. Oproti S7-1500 je S7-1200 méně výkoná a nabízí omezenější možnosti programování. S nástupem třídy S7-1200 a S7-1500 se standardní komunikační sběrnicí stává ProfiNET

- S7-1500

Zatím poslední třída vyráběných PLC. Do jisté míry nabízí zpětnou kompatibilitu s řadou S7-300 a v budoucnu ji má nahradit.

2.3 Porovnání parametrů

Text se zaměřuje na porovnání technických parametrů a programových možností dnes používaných tříd PLC.

Protože množství technických parametrů PLC je široké a porovnání všech mezi sebou by nebylo účelné, byly zvoleny následující reprezentativní parametry pro porovnání jednotlivých tříd z hlediska výpočetního výkonu. Každá třída je v tabulce zastoupena nejvýkonějším CPU.

PLC	Doba zpracování instrukce [ns]			Paměť programu	Paměť dat
	BOOL	WORD	FLOAT		
1217-C [3]	80	1700	2300	150KB	150KB
319-3 [4]	4	10	40	2048KB	2048KB
1518-4 [5]	1	2	6	4MB	20MB

Tab. 2.1: Porovnání parametrů PLC různých řad

Z porovnání je vidět dramatický rozdíl ve výpočetním výkonu třídy S7-1200 a 1500. Třídy S7-300 a 1500 jsou v tomto ohledu srovnatelné.

Podporované programovací prostředí zobrazuje 2.2. Dříve používané prostředí Simatic Manager Step 7 bylo postupně vytlačeno prostředím TIA portal.

TIA portal kombinuje programovací prostředí pro PLC i HMI značky Siemens a je uživatelsky přívětivější. Na druhou stranu je náročnější na hardwarové požadavky a ne-

umožňuje některé funkce, které Simatic Manager Step 7 podporoval (například vyhledávání proměnné jen na základě jména).

PLC	Prostředí
S7-300	Simatic Manager Step 7 TIA Portal
S7-1200 S7-1500	TIA Portal

Tab. 2.2: Podporované programovací prostředí

Srovnání z hlediska hardwarových nároků je znázorněno tabulkou 2.3

Prostředí	RAM	CPU	OS	HDD
Step 7 [7]	512MB	600MHz	Win XP 32 bit	1GB
TIA [6]	8GB	3.4GHz	Win 7 64 bit	50GB

Tab. 2.3: Hardwarové požadavky na programovací prostředí

Dalším zásadním rozdílem mezi ustupující třídou S7-300 a nově nastupivšími třídami S7-1200 a S7-1500 je výrazné potlačení možnosti použití nepřímé adresace a absolutní adresace. V PLC třídy S7-300 měl programátor možnost operovat s adresními a akumulátorovými registry, nad nimiž mohl provádět různé operace v jazyce STL. Bylo tedy možné vypočítat adresu proměnné a potom k ní nepřímo přistupovat. U PLC S7-1200 je tato možnost vyloučena úplně a u S7-1500 je výrazně omezena.

Srovnání podle podporovaných programovacích jazyků zobrazuje tab 2.4. Z uživatelského hlediska se jedná se o klíčovou vlastnost PLC, protože některé operace bud' nelze v některých jazycích provést vůbec a nebo jen velmi obtížně (například operace s registry jsou možné pouze v STL).

PLC	LAD	FBD	GRAPH	SCL	STL	HiGraph	CFC
S7-1200 [3]	✓	✓	x	✓	x	x	x
S7-300 [4]	✓	✓	✓	✓	✓	x	x
S7-1500 [5]	✓	✓	✓	✓	✓	✓	✓

Tab. 2.4: Podporované programovací jazyky pro jednotlivé PLC

Pro úplnost je ovšem třeba dodat, že ačkoliv jazyky SCL, LAD a FBD jsou podporovány všemi vyjmenovanými PLC, instrukční sady se pro jednotlivá CPU mohou lišit. To je významný nedostatek z hlediska kompatibility zejména mezi S7-1200 a S7-1500.

Pokud chceme těmto problémům zabránit, je nutné nepoužívat specializované instrukce/funkce/funkční bloky dostupné jen pro určitou řadu PLC.

2.4 Technické parametry CPU1515F-2 PN

Text představuje technické parametry řídícího systému CPU1515-PN [8] užitého pro řízení pracoviště E-Robot. V úvodu jsou pro porovnání uvedeny stejné parametry výpočetního výkonu jako v předchozím textu, v další části jsou pak uvedeny programové možnosti PLC.

PLC	Doba zpracování instrukce [ns]			Paměť programu	Paměť dat
	BOOL	WORD	FLOAT		
1515-PN	30	36	192	750KB	3MB

Tab. 2.5: Technické parametry CPU1515-PN

PLC obsahuje slot na paměťovou kartu. Její maximální velikost může být až 32GB. Programové možnosti jsou následující:

- DB

Programátor může využít číselný rozsah pro datové bloky od 1 do 59 999. Rozsah od 60 000 do 60 999 je rezervovaný pro safety datové bloky.

Maximální možná velikost paměti pro přístup absolutní adresací je 64KB, jinak lze využít celý rozsah paměti 3MB.

- FB, FC, OB

Maximální paměť použitelná pro vyjmenované programové bloky je 500KB.

V PLC lze použít standardní OB (StartUp, Cyclic interrupt atp.) jako u ostatních PLC. Nejrychlejší perioda cyklického interruptu je 0,5ms.

Maximální počet všech bloků (DB, FB, FC, OB a UDT) je omezen na 6 000.

Z hlediska komunikace PLC s ostatními prvky na pracovišti je důležitým parametrem možnost rozšíření připojení o distribuované IO systémy. PLC jich umožňuje připojit až 64. Navíc k samotnému PLC lze připojit až 31 modulů a rozšířit tak možnosti CPU.

Jak bude zřejmé z dalších kapitol, tyto možnosti PLC jsou zcela dostatené pro potřeby řízení pracoviště E-Robot.

3

Pracoviště E-Robot

Kapitola představuje pracoviště po konstrukční a technologické stránce. V úvodní části je obecně popsána konstrukce výrobku a je naznačeno, jakými výrobními procesy prochází jednotlivé díly. Následuje popis dělení pracoviště na stanice, způsob propojení jednotlivých celků a popis použitých aktuátorů. Další sekce kapitoly popisuje celý výrobní postup. Následují detailní funkční popisy jednotlivých pracovních stanic; technologie výroby je zde ilustrována na modelech výrobku.

Layout pracoviště zobrazuje obrázek 3.2. Je funkčně rozdelen do několika stanic, z nichž každá disponuje nějakou formou IO slučovače a průmyslovým switchem. Propojení stanic v rámci Ethernetové sítě je realizované hvězdicovou topologií, po níž prvky komunikují po sběrnici Profinet.

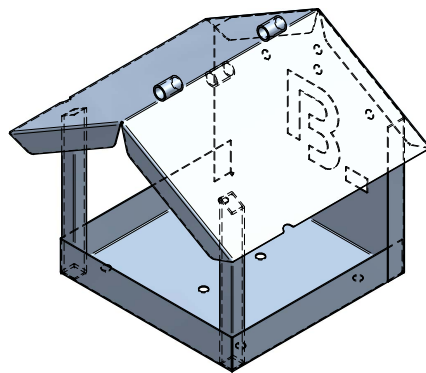
Podružné IO slučovače stanic v podobě IO-linkových modulů nebo ventilových terminálů sdružují vstupy a výstupy konkrétní stanice. Součástí jsou i Fail-Safe IO. Každá stanice integruje Fail-Safe výstupy pro spínaní napájení pohonů (je-li na stanici přítomen) a přívodních vzduchových ventilů.

Stanice, s nimiž přijde do kontaktu operátor, jsou navíc vybaveny tlačítkem nouzového vypnutí a odbavovacím tlačítkem. Dalšími bezpečnostními prvky zakládacích stanic jsou pak světelné závory a scannery přítomnosti osob.

3.1 Výrobek

Pracoviště je konstruované k výrobě plechových ptačích krmítek. Motivace pro výběr krmítka jako vyráběného předmětu je dvojí:

1. Proces výroby je netriviální
lze na něm tedy dobře ilustrovat výhody virtuálního zprovoznění.
2. Marketingové důvody
krmítko může sloužit jako reklamní předmět.



Obr. 3.1: Model hotového výrobku

Krmítko se skládá ze dvou dílů: střechy a podlahy. Tyto podsestavy jsou v procesu výroby zvlášť připravovány a jejich svařením vznikne finální výrobek.

Pro samotnou výrobu jsou užité následující technologické operace:

- Robotické lemování (robot KUKA 110030R01)

Plech střechy i podlahy prochází v první fázi výroby lemovacím procesem. Lemování je u každého dílu dvojí.

- Robotické vybírání a zakládání dílů (robot FANUC 110070R01)

Kroužky (součást podsestavy střechy) i sloupky (podsestava podlahy) je nutné před samotným svařením vybrat ze zakládacího šuplíku a následně založit do svařovacího přípravku.

- Robotický HandShake podsestav a dílů

V určitých momentech procesu výroby je nutné, aby si roboti FANUC a KUKA mezi sebou vyměnili díly. Z pohledu průmyslové praxe se nejedná o běžnou situaci.

- Robotické obloukové svařování (robot ABB 110040R01)

Veškeré svařování na pracovišti (jak podsestav, tak celkové sestavy) je prováděno obloukově svařovacím robotem ABB.

3.2 Aktuátory

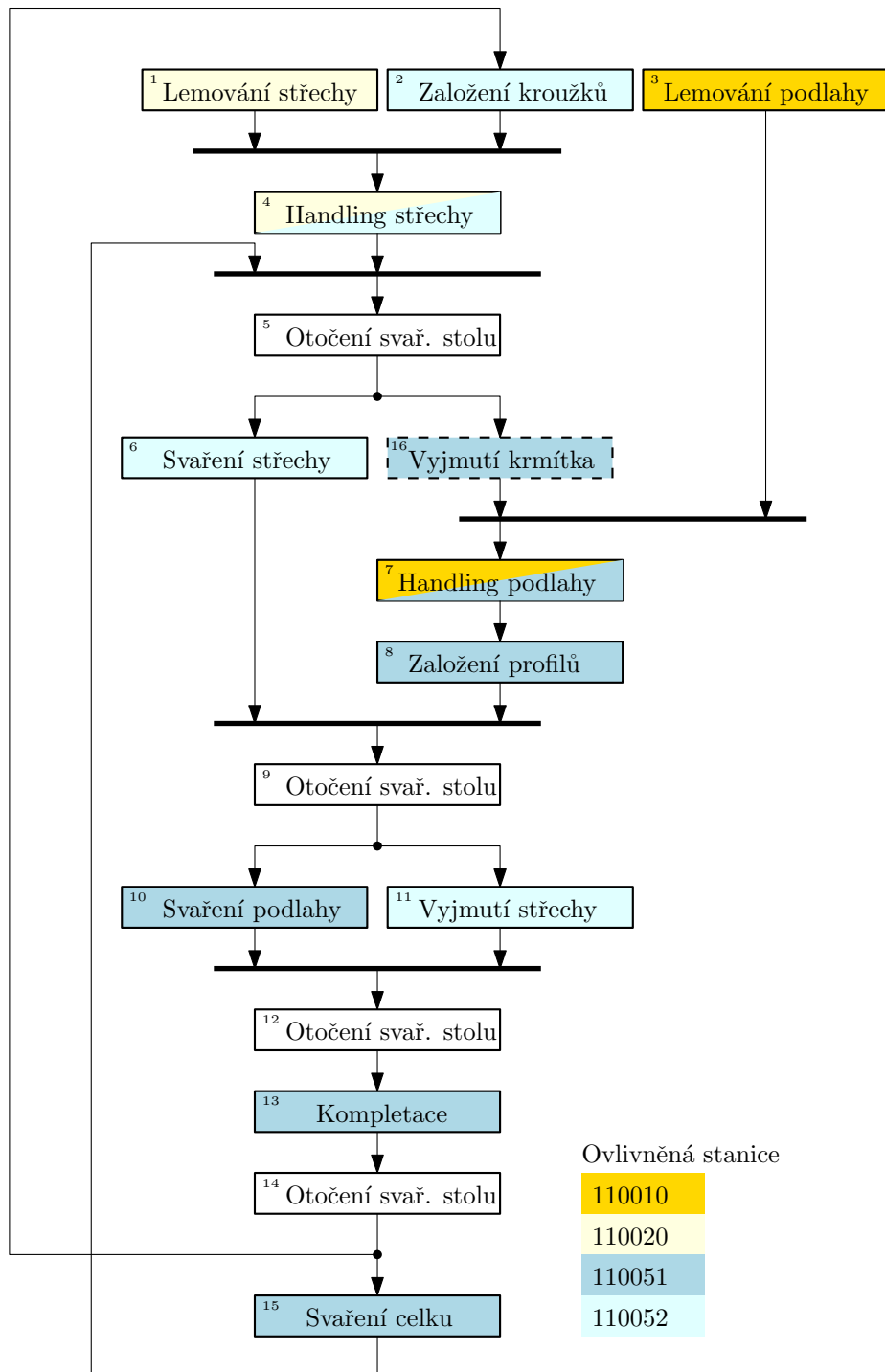
Na pracovišti jsou dva typy aktuátorů. Pneumatické válce ovládané ventily a stykačově řízené asynchronní motory. Z pohledu řízení se tedy jedná výhradně o binární řízení. Stejnou povahu mají i všechny vstupní signály.

U válců rozlišujeme výchozí (VP) a pracovní (PP) polohu na základě zpětné vazby z koncových čidel. U motorů je ZV realizována kontrolními kontakty stykačů. Ty informují o správném sepnutí a tedy směru točení motoru.

Jako zpětná vazba polohy otočných stolů (110020DT1 a 110050DT1) fungují vačkové snímače umístěné na prodloužené hřídeli motoru pohánějícího stůl. Otočné stoly na pracovišti mají dvě pracovní polohy.

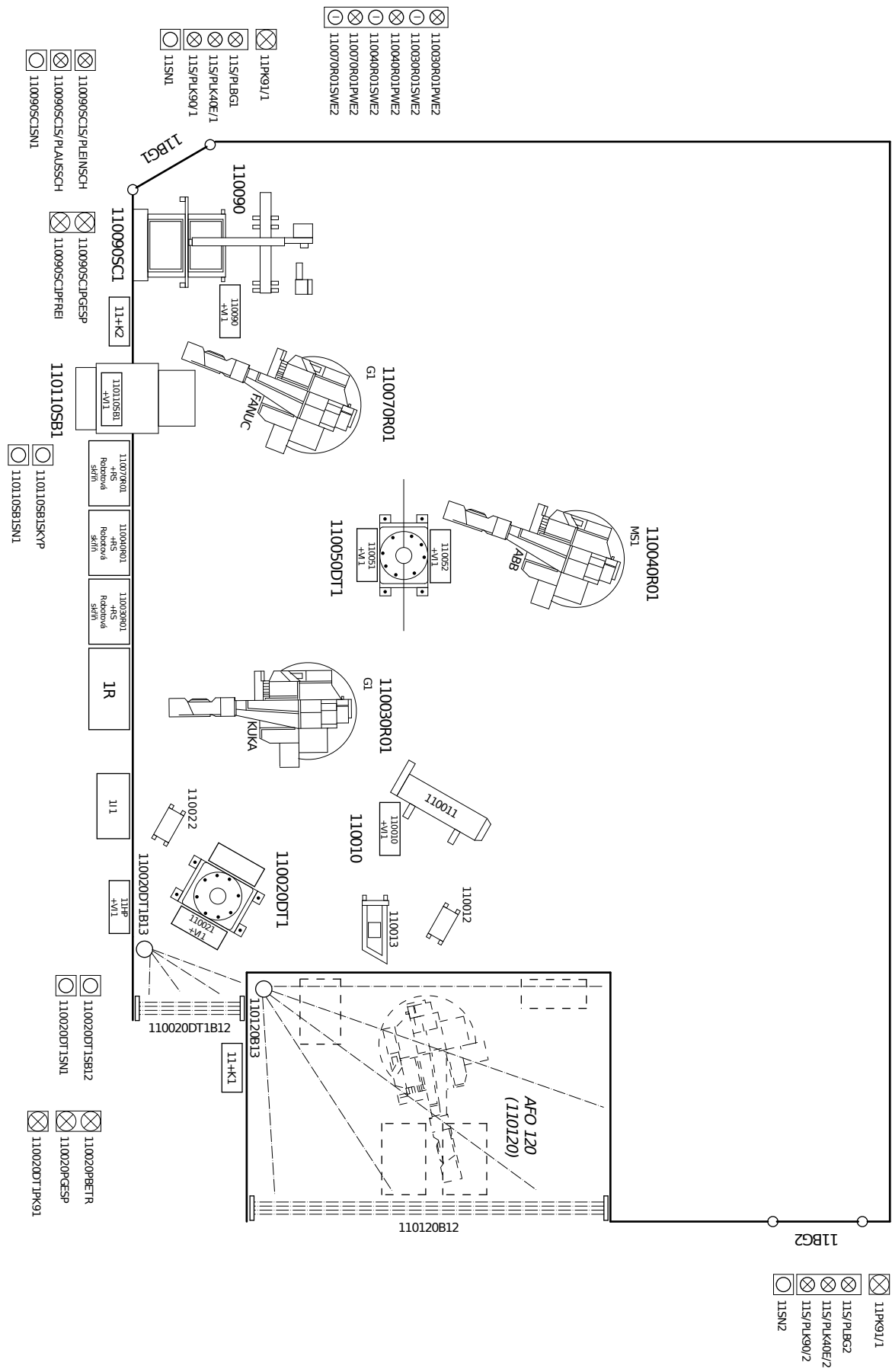
3.3 Sekvence pracoviště

Výrobní sekvence celého pracoviště je rozdělena do několika operací, z nichž některé mohou být prováděny nezávisle na ostatních, zatímco jiné jsou naopak podmíněny dokončením jiné operace popřípadě několika operací. Následující text představuje celkovou sekvenci pracoviště a ilustruje závislost jednotlivých operací.



Pozn.: Po inicializaci je svařovací stůl natočen přípravkem 110051 k svařovacímu robotu.

Obr. 3.3: Celková výrobní sekvence pracoviště



Obr. 3.2: Layout pracoviště

Obrázek znázorňuje výrobní sekvenci pracoviště E-robot z pohledu závislosti jednotlivých operací. Detaily konkrétních operací jsou popsány v kapitolách daných pracovních stanic.

Číslované obdélníky zobrazují operace, jejich dokončení reprezentují z nich vycházející šipky. Vodorovné linie naznačují podmínění pokračování v sekvenci dokončením několika operací. Ústí-li více šipek do vodorovné linie, je pro pokračování nutné dokončení všech těchto operací.

Zpětné vazby naznačené přechodem z operací 14 a 15 se stejně jako operace 16 neuplatní při prvním průchodu pracovním cyklem.

Diagram plyne shora dolů, takže po inicializaci pracoviště mohou být vykonávány operace 1, 2 a 3. Protože se jedná o první cyklus, je pro pokračování do operace 4 nutné splnění pouze operace 1 a 2. Stejně tak pro začátek operace 5 stačí při prvním cyklu dokončit pouze operaci 4. Šipka směřující z operace 14 do operace 2 naznačuje, že pro zařazení kroužků musí být stůl napolohován svařovacím přípravkem 110051 k svařovacímu robotu.

3.3.1 Slovní popis sekvence

Pro názornost je v dalším odstavci uveden slovní popis sekvence.

V **operaci 1** robot KUKA (110030R01) olemuje střechu ve stanici 110020. Mezitím robot FANUC (110070R01) do svařovacího přípravku 110052 založí trojici kroužků (**operace 2**). Po dokončení obou operací, odebere robot KUKA olemovanou střechu ze stanice 110020 a provede HandShake s robotem FANUC (**operace 4**). Robot FANUC následně založí střechu do svařovacího přípravku 110052 a dojde k otočení stolu (**operace 5**). Během zakládání robot KUKA olemuje plech podlahy ve stanici 110010 (**operace 3**). Během svařování střechy robotem ABB (110040R01) (**operace 6**), provede robot KUKA s robotem FANUC HandShake podlahy (**operace 7**) a následně ji robot KUKA založí do svařovacího přípravku 110051. Po založení podlahy robot FANUC odebere dvojici profilů ze zakládacího šuplíku 110090 a založí je k podlaze do svařovacího přípravku 110051 (**operace 8**). Po dokončení těchto operací a svaření střechy dojde k otočení svařovacího stolu. Svařovací přípravek 110051 je směrem k svařovacímu robotu ABB a může dojít k svaření profilů s podlahou (**operace 10**). Ze svařovacího přípravku 110052 je robotem KUKA vyjmuta svařená střecha (**operace 11**). Robot KUKA s robotem FANUC provedou HandShake střechy. Po dokončení těchto operací (10 a 11) dojde k otočení stolu (**operace 12**). Robot FANUC založí střechu k podlaze (**operace 13**). Mezitím může robot KUKA začít připravovat novou střechu a podlahu (operace 1 a 3). Po provedení operace 13 se stůl opět otočí (**operace 14**) a robot ABB začne svařovat celkovou sestavu krmítka (**operace 15**). Protože operace 14 byla dokončena, je robotu FANUC umožněno založit nové kroužky do stanice 110052 (**operace 2**). Sekvence pokračuje až do dokončení operace 4 stejně jako během prvního cyklu. Narozdíl od něj se ale stůl otočí až po dokončení operace 15. Operace 7 je podmíněna vyjmutím hotového krmítka (operace 16)

robotem FANUC. Hotové krmítko je odloženo na dopravník 110110.

3.4 Roboti

Odstavec je zaměřen na funkční popis robotů pracoviště. V sekcích věnovaných jednotlivým robotům je představen jejich gripper a kompletní výčet operací, které robot provádí.

Ačkoliv je výčet prací robotů v tabulce číslován, pořadí operací nemusí odpovídat reálnému pořadí během výrobního procesu. Identifikátor operace slouží pouze pro přiřazení unikátního čísla dané operaci a je s ním dále operováno v rámci automatického cyklu stanice.

Mezi jednotlivými operacemi může robot libovolně přeskakovat (pokud je k tomu vyzván PLC a umožňují to jeho vnitřní programové podmínky).

Typy operací

Operace robota jsou klasifikovány typem. Ty jsou rozlišovány na tři: vjezd, výjezd a vjezd/výjezd a odkazují na rozdílné chování řídících signálů během těchto operací (viz 5.6).

Z technologického hlediska je rozdíl mezi operacemi v poloze koncového bodu robota před a po dokončení operace vzhledem k možné kolizní zóně. Rozdíl mezi typy uvádí tabulka.

Typ operace	Poloha robota		Příklad
	Před operací	Po operaci	
Vjezd/výjezd	Mimo kolizi		Olemování dílu
Vjezd	Mimo kolizi	Uvnitř kolize	Zakládání do přípravku vyžadující fixaci v přípravku
Výjezd	Unitř kolize	Mimo kolizi	Vyjmutí dílu z přípravku vyžadující odepnutí v přípravku

Tab. 3.1: Typy robotických operací

Každé operaci typu výjezd musí předcházet operace typu vjezd. Stejně tak není možné, aby operace typu vjezd neměla přidruženou operaci typu výjezd.

3.4.1 Lemovací robot

Lemovací robot KUKA (110030R01) opracovává díly střechy a podlahy na stanicích 110010 a 110020. Dále provádí Handlingové operace s robotem FANUC a zakládá olemovanou podlahu do přípravku 110051.

Jeho gripper je vybaven dvojicí lemovacích rolen pomocí nichž provádí samotné lemování. K manipulačním operacím využívá magnety jejichž polohu kontroluje pomocí pneumatických válců. Jedna poloha magnetů díl z gripperu uvolní, druhá ho přichytí.

ID	Popis	Typ operace
Operace na 110020		
1	Lemování střechy pozice 1	vjezd/výjezd
2	Přeložení střechy	vjezd/výjezd
3	Založení do lemovací pozice 2	vjezd
4	Odjezd po založení	výjezd
5	Lemování střechy pozice 2	vjezd/výjezd
6	Uchopení olemované střechy	vjezd
7	Odjezd s olemovanou střechou	výjezd
8	HandShake střechy s robotem FANUC	vjezd/výjezd
Operace na 110010		
9	Založení podlahy na pozici 1	vjezd/výjezd
10	Lemování podlahy pozice 1	vjezd/výjezd
11	Přeložení podlahy	vjezd/výjezd
12	Založení do lemovací pozice 2	vjezd/výjezd
13	Lemování podlahy pozice 2	vjezd/výjezd
14	HandShake podlahy s robotem FANUC	vjezd/výjezd
Operace na 110051		
15	Založení podlahy do přípravku	vjezd/výjezd
HandShake polotovaru střechy		
16	HandShake polotovaru střechy s robotem FANUC	vjezd/výjezd

Tab. 3.2: Operace prováděně robotem KUKA

3.4.2 Manipulační robot

Manipulační robot FANUC (110070R01) vybírá kroužky a profily ze zakládacího šuplíku 110090 a zakládá je do svařovacích přípravků 110051 a 52. Do přípravku 110052 zakládá olemovanou střechu, kterou pomocí HandShake přebírá od robota KUKA. Z přípravku 110051 pak odebírá hotovou sestavu krmítka a odkládá ji na pásový dopravník.

Protože gripper robota FANUC je poměrně komplikovaný a jeho popis by byl vyčerpávající, je pouze konstatováno, že pro handlingové operace je FANUC narozdíl od KUKA robota vybaven přísavkami a operace vybírání kroužků a profilů 110090 umožňuje buď malá přísavka a nebo rozpěrný mechanismus. Gripper je dále vybaven kleštěmi s roztečí rovnou rozteči profilů hotové sestavy krmítka.

ID	Popis	Typ operace
Operace na 110090		
1	Odebrání kroužku	vjezd/výjezd
2	Odebrání profilu	vjezd/výjezd
Operace na 110052		
3	Založení kroužku 1	vjezd/výjezd
4	Založení kroužku 2	vjezd/výjezd
5	Založení kroužku 3	vjezd/výjezd
6	HandShake střechy	vjezd/výjezd
7	Založení střechy	vjezd/výjezd
8	Vyjmutí svařené střechy	vjezd/výjezd
9	HandShake střechy	vjezd/výjezd
Operace na 110051		
10	Založení střechy k podlaze	vjezd/výjezd
11	Založení profilů k podlaze	vjezd
12	Odjezd po založení profilů	výjezd
13	Vyjmutí hotového krmítka	vjezd/výjezd
Operace na 110110		
14	Odložení hotového krmítka na dopravník	vjezd/výjezd

Tab. 3.3: Operace prováděné robotem FANUC

3.4.3 Svařovací robot

Svařovací robot ABB (110040R01) v přípravku 110052 přivařuje kroužky k plechu střechy a v přípravku 110051 slouppky k plechu podlahy a nakonec celou sestavu krmítka.

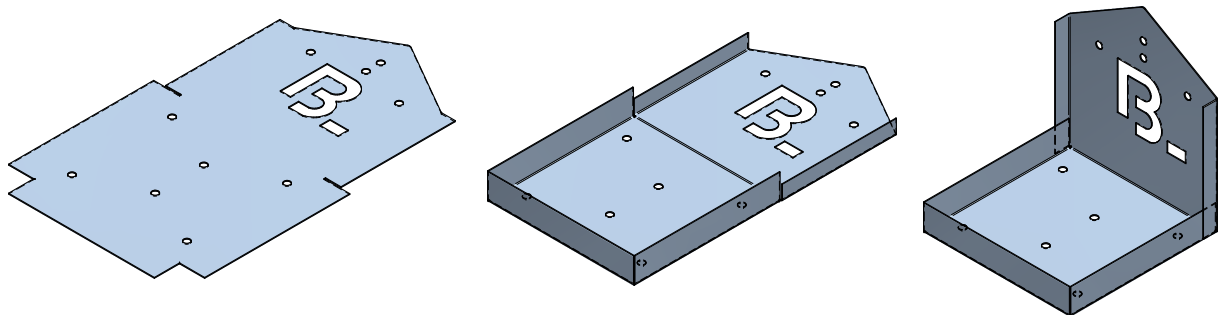
Robot je vybaven svařovací tryskou a navijákem drátu. Součástí robotického pracoviště je i štípačka a čistička drátu. Štípačka a čistička je sice formálně řízená pomocí PLC, ale povely pro spínání jejich aktuátorů si řídí robot.

ID	Popis	Typ operace
Operace na 110052		
1	Přivaření kroužků strana A	vjezd/výjezd
2	Přivaření kroužků strana B	vjezd/výjezd
Operace na 110051		
3	Přivaření profilů k podlaze	vjezd/výjezd
4	Přivaření střechy k podlaze	vjezd/výjezd

Tab. 3.4: Operace prováděné robotem FANUC

3.5 110010 - lemování podlahy

Na stanici 110010 dochází k robotickému lemování plechu podlahy (operace 3 na obr. 3.3). Stanice se skládá z zakládacího přípravku 110013, lemovacího přípravku 110011 a překládacího přípravku 110012.

**Obr. 3.4:** Jednotlivé kroky procesu lemování podlahy

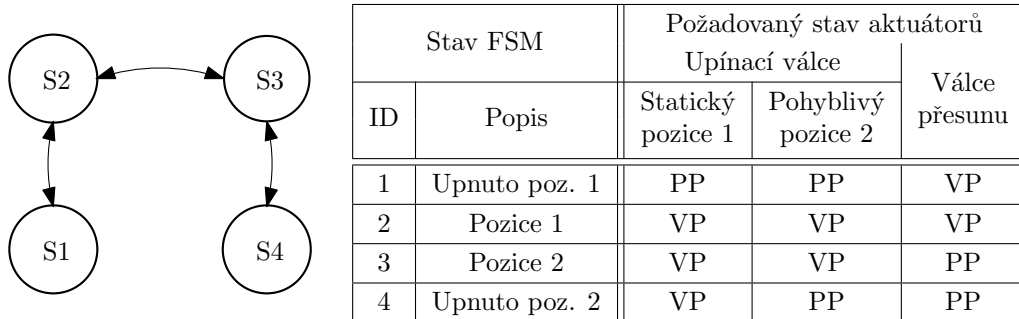
Zakládací přípravek slouží pro založení plechu podlahy. Přípravek je vybaven dvěma čidly přítomnosti. Na základě kombinace jejich stavů je detekována správnost založení a orientace dílu. Ta rozhoduje o způsobu odebírání dílu robotem.

Stav čidel ST02	Stav čidel ST01	Stav přípravku	Způsob odebrání
0	0	Díl nezaložen	x
0	1	Díl založen	”Shora”
1	0	Chybový stav	x
1	1	Díl založen	”Sdola”

Tab. 3.5: Stavy zakládacího přípravku

Lemovací přípravek obsahuje dvě lemovací pozice, na nichž je upínán díl. Na první pozici je dílu nejprve olemováno pět hran, na druhé pozici je díl olemován do finálního tvaru. Přípravek se skládá ze čtyř válců. Upínací statický válec ZS01, pohyblivý upínací

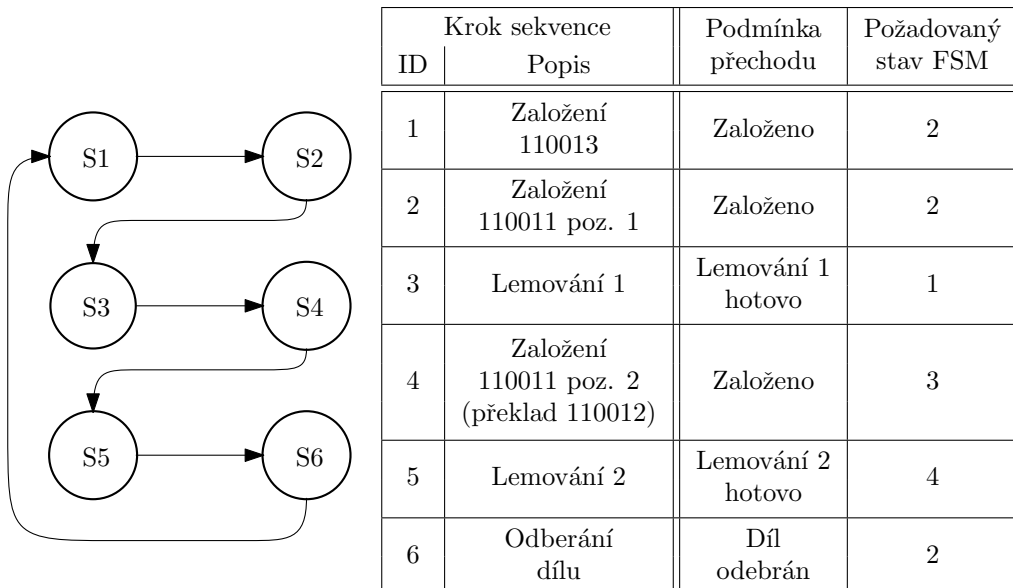
válec ZS02 a dva válce přesunu ZS03a a ZS03b. Čtyři přípustné koncové stavy přípravku ilustruje stavový automat na obrázku 3.5.



Obr. 3.5: Stavový automat lemovačního přípravku

V **překládacím přípravku** dochází k přeuchopení dílu po dokončení prvního lemování. Vzhledem k tomu, že překládání probíhá roboticky a je definována orientace dílu, je detekce zajištěna jen jedním čidlem přítomnosti.

Automatická sekvence stanice je znázorněná diagramem 3.6.

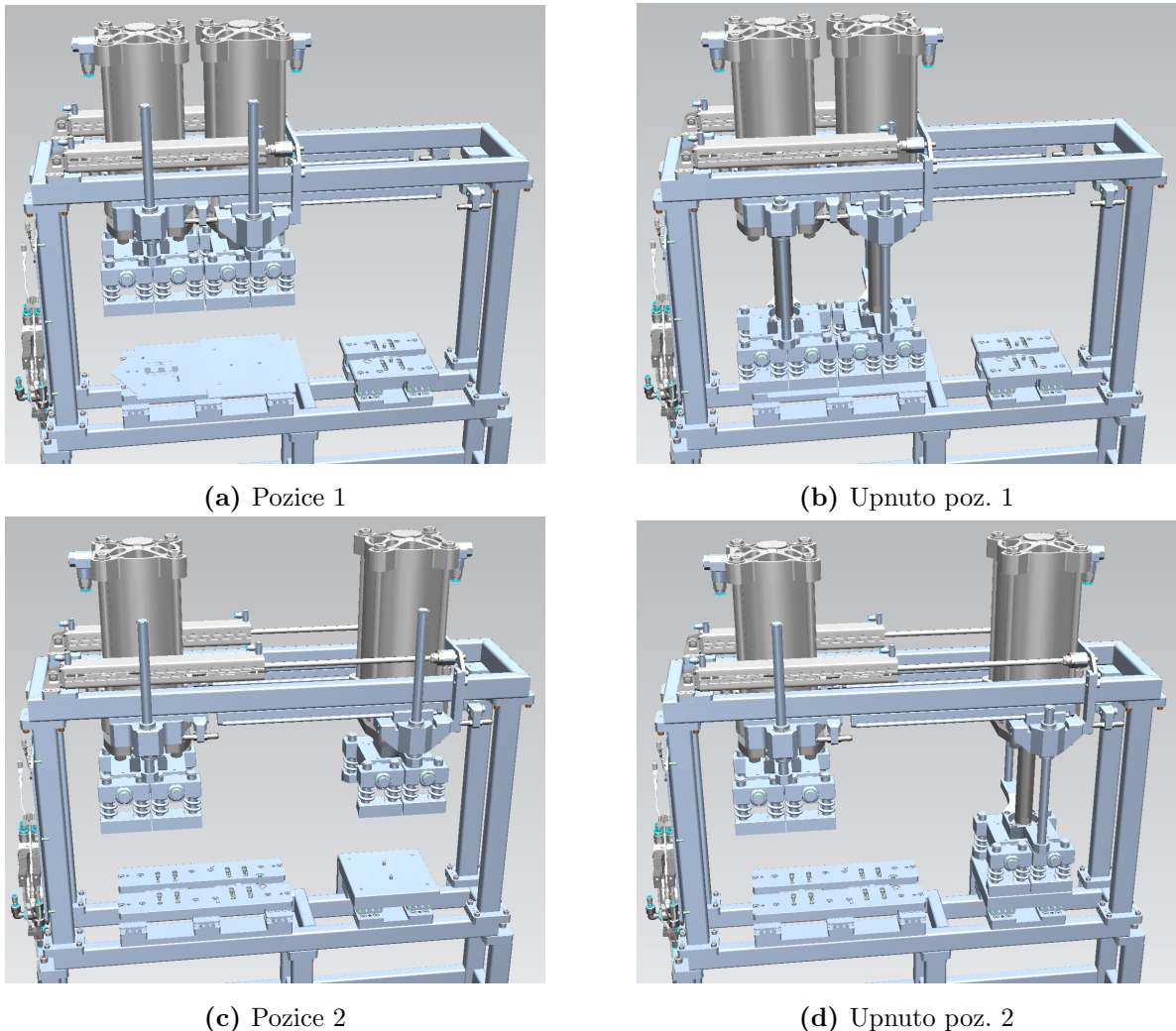


Obr. 3.6: Sekvence stanice 110010

Podmínky přechodu stanice jsou řízeny převážně signály *Hotovo* robota KUKA. Je to dáno tím, že většinu technologických operací provádí právě robot. Výjimku tvoří přechod z kroku 1 a 6.

Přechod z prvního kroku je závislý na založení dílu do 110013. Podle konfigurace pracoviště může zakládání probíhat roboticky (zakládací robot stanice AFO120) a nebo je uskutečněno obsluhou. V případě robotického zakládání je tedy přechod řízen signálem *Hotovo* zakládacího robota, v případě ručního zakládání signálem odbavovacího tlačítka.

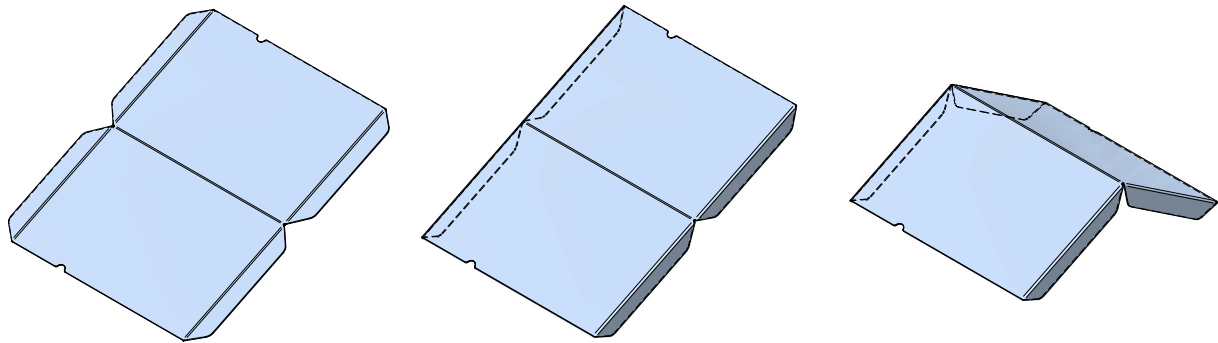
Přechod z kroku 6 je naproti tomu podmíněný stavem ostatních operací pracoviště (viz. 3.3 operace 3).



Obr. 3.7: Pracovní pozice lemovacího přípravku 110010

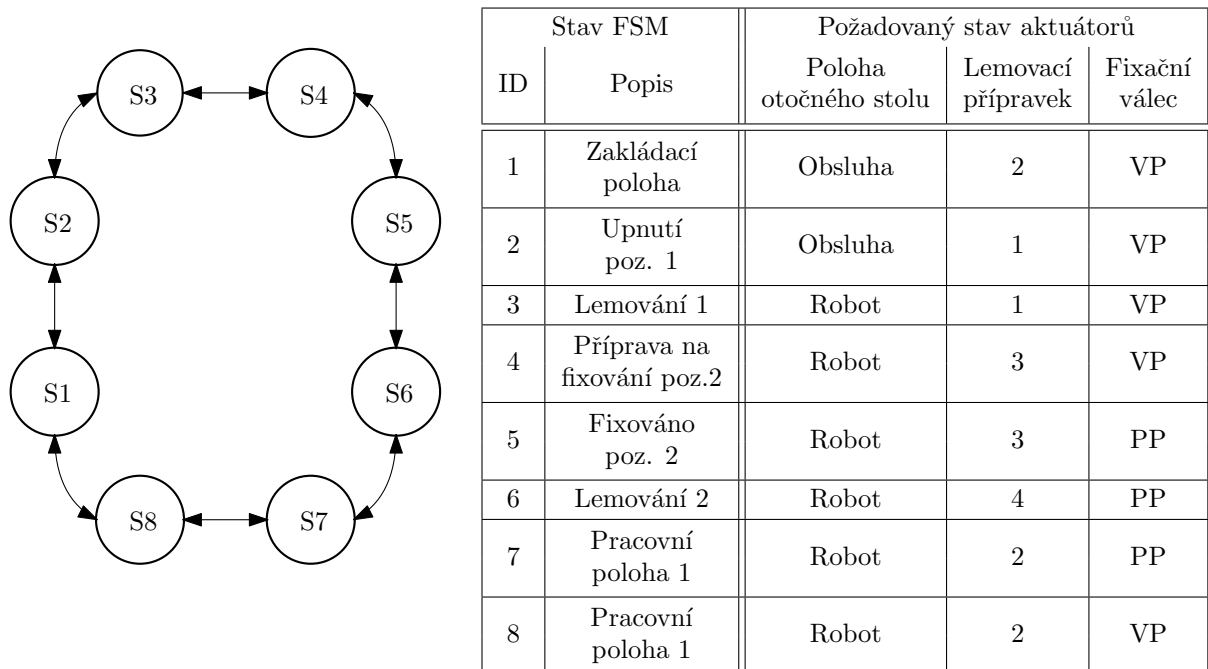
3.6 110020 - lemování střechy

Na stanici 110020 dochází k robotickému lemování plechu střechy (obr. 3.3 operace 1). Stanice se skládá z lemovacího přípravku 110021, překládacího přípravku 110022 a otočného stolu 110020DT1. Bezpečnostními prvky stanice jsou světelná závora 110020DT1B12 a scanner přítomnosti osob v zakládacím prostoru 110020DT1B13. Pracoviště je dále vybaveno tří segmentovým signalizačním majákem a odbavovacím tlačítkem 110020DT1SN1.



Obr. 3.8: Jednotlivé kroky procesu lemování střechy

Lemovací přípravek je konstrukčně i funkčně téměř shodný s lemovacím přípravkem 110011. Přípravek 110021 má navíc fixační válec pro uchycení dílu po přeložení v překládací stanici. Po založení robotem do druhé pozice válec přídrží díl a k samotnému upnutí lemovacím přípravkem dojde až po odjezdu robota. Dalším rozdílem je způsob zakládání dílu do přípravku. Zatímco do přípravku 110011 zakládá robot, do přípravku 110021 zakládá obsluha. Vzhledem k těmto rozdílům jsou rozdílné i sekvence stanic.

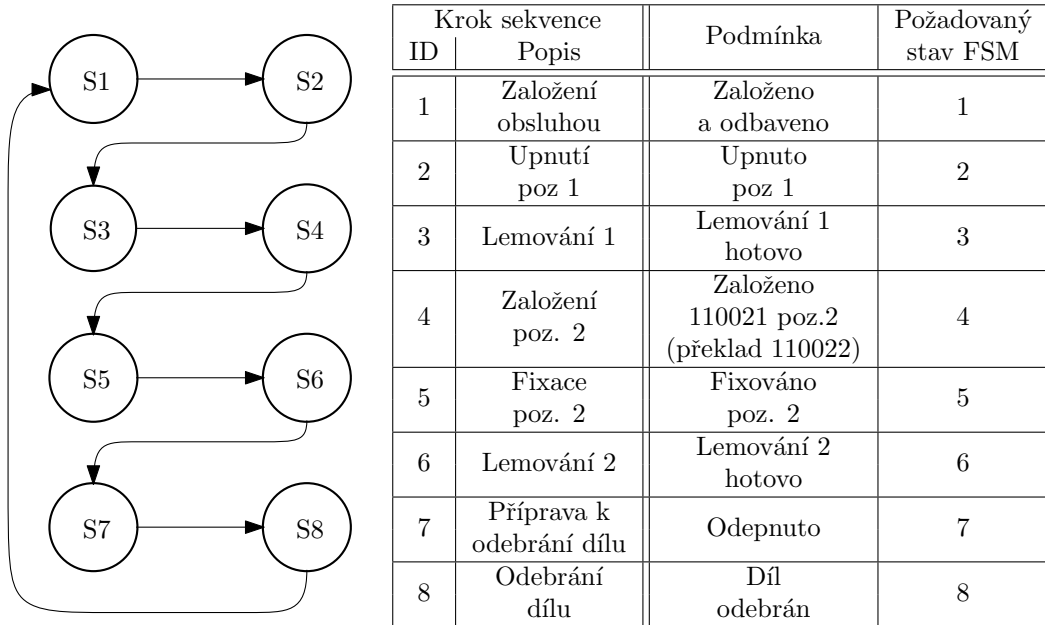


Obr. 3.9: Stavový automat stanice 110020

Otočný stůl nese lemovací přípravek a umožňuje jeho polohování do zakládací (směrem k obsluze) a pracovní polohy (směrem k robotu). Otočný stůl je poháněn tří fázovým asynchronním motorem a jeho pozice je detekována pomocí vačkových snímačů umístěných na prodloužené hřídeli rotoru. Stůl navíc obsahuje FailSafe čidla polohy.

Překládací stanice plní stejnou funkci jako překládací stanice na stanici 110010 a je vybavena stejnou senzorikou.

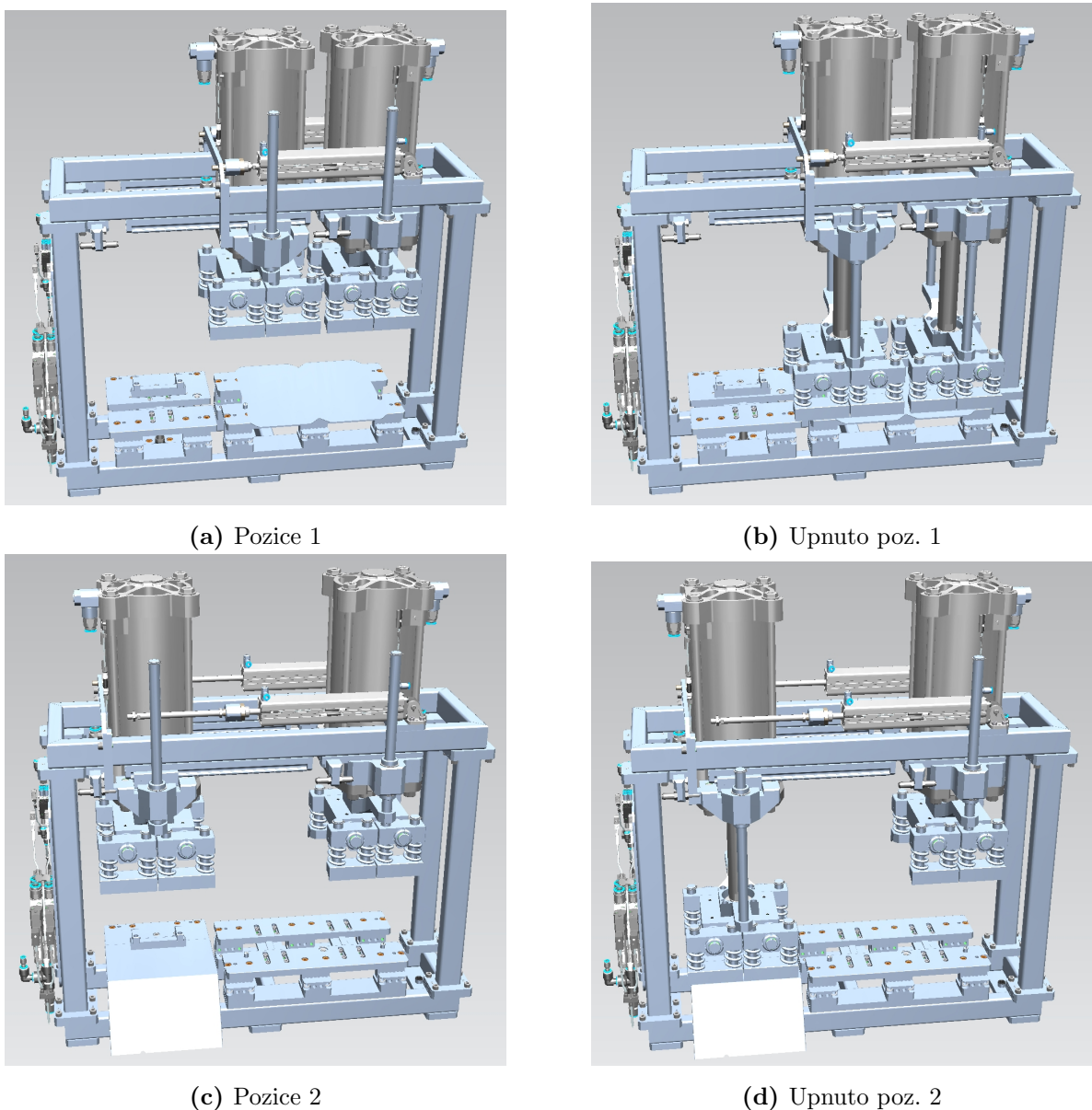
Automatická sekvence stanice je znázorněna diagramem 3.10.



Obr. 3.10: Sekvence pracoviště 110020

Podmínky přechodu jsou převážně řízeny signály *Hotovo* robota KUKA. Výjimku tvoří pouze přechod z kroku 1. Protože zakládání provádí operátor, je přechod řízen odbavovacím tlačítkem.

Přechod z kroku 8 je naproti tomu podmíněný stavem ostatních operací pracoviště (viz. 3.3 operace 1)



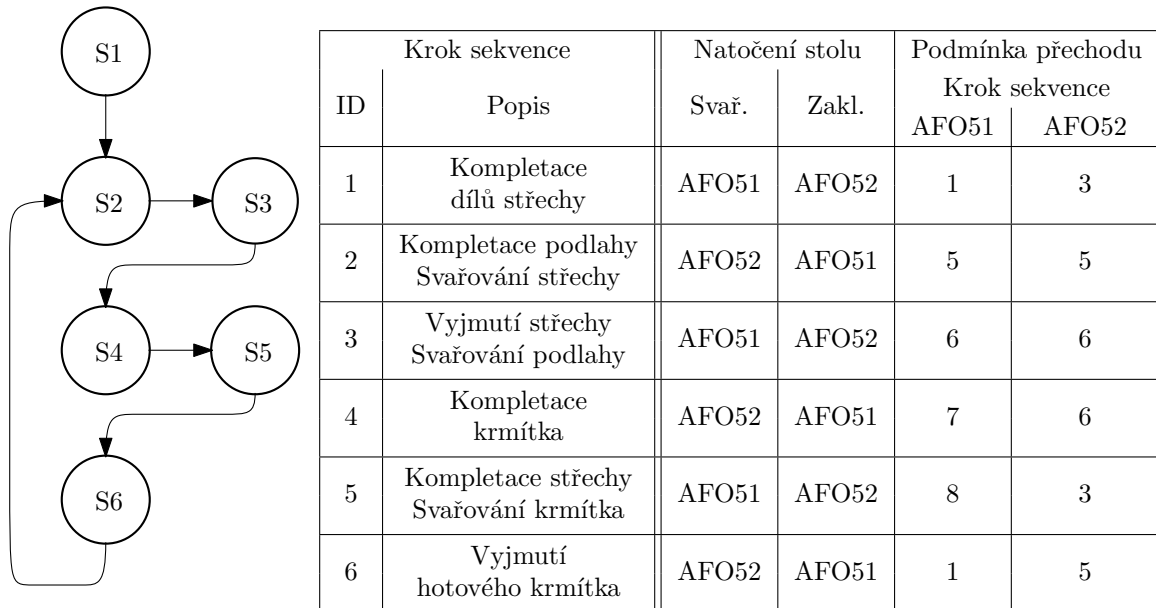
Obr. 3.11: Pracovní pozice stanice 110020

3.7 110050 - svařovací stanice

Ve stanici jsou dokončeny podsestavy podlahy a střechy a dochází v ní i ke kompletaci celé sestavy (viz. obr. 3.3 operace 2, 4, 6, 7, 8, 10, 11, 13, 15 a 16). Z pohledu technologie se tak jedná o poslední článek výrobního řetězce. Svařovací stanice 110050 se skládá z otočného stolu 110050DT1 a dvou svařovacích přípravků (110051 a 110052). Podle polohy otočného stolu je jeden přípravek natočen k svařovacímu robotu ABB a druhý do pracoviště.

Oba svařovací přípravky v rámci stanice mají vlastní automatickou sekvenci a jsou popsány svým stavovým automatem. Úkolem automatické sekvence stanice je synchronizace těchto dvou podružných sekvencí a řízení otočného stolu.

Automatická sekvence stanice přechází do dalšího kroku v případě, že automatické

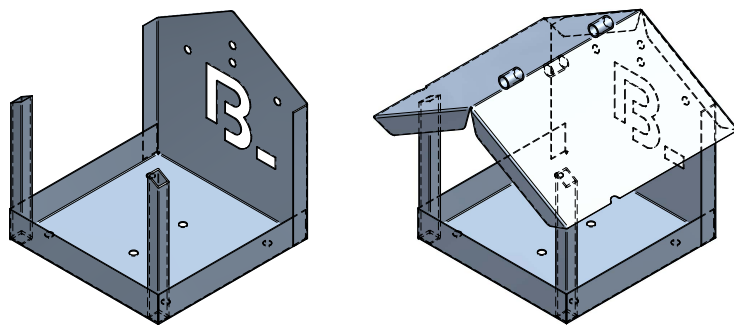
**Obr. 3.12:** Automatická sekvence svařovací stanice

sekvence obou svařovacích přípravků se nacházejí v požadovaném kroku a otočný stůl je správně napolohován. Tím je zajištěna synchronizace sekvencí a je zaručeno, že jedna nepředběhne druhou.

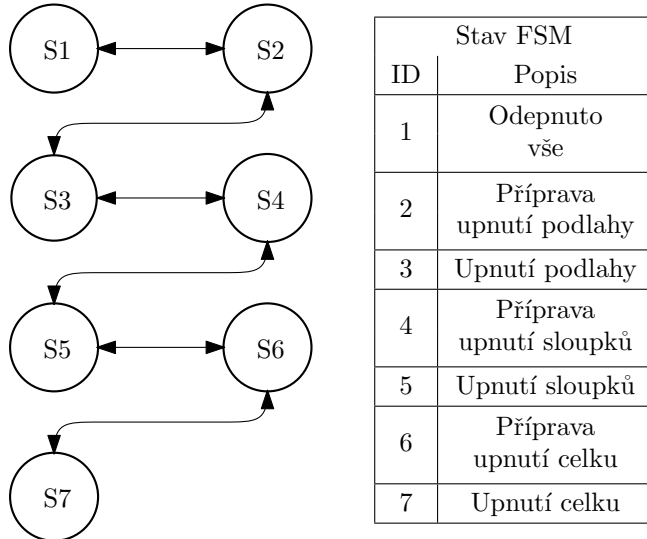
Podmínky přechodu obou přípravků jsou řízeny výhradně na základě stavů ostatních operací pracoviště a signálů Hotovo robotů. Pro přechody v rámci jiných operací opět viz obr. 3.3

3.7.1 110051 - svařovací přípravek podlahy

Ve svařovacím přípravku 110051 je nejprve dokončena podsestava podlahy (viz. obr. 3.3 operace 7, 8 a 10) a následně celá sestava krmítka (viz. obr. 3.3 operace 13, 15 a 16). Přípravek je vybaven několika sadami pneumatických válců pro uchycení různých částí sestavy. Některé válce fixují samotnou podsestavu podlahy, popřípadě profily a podlahu. Další sada fixuje celkovou sestavu (podlahu spolu se střechou). Další skupina válců slouží k přesunu těchto fixačních prvků.

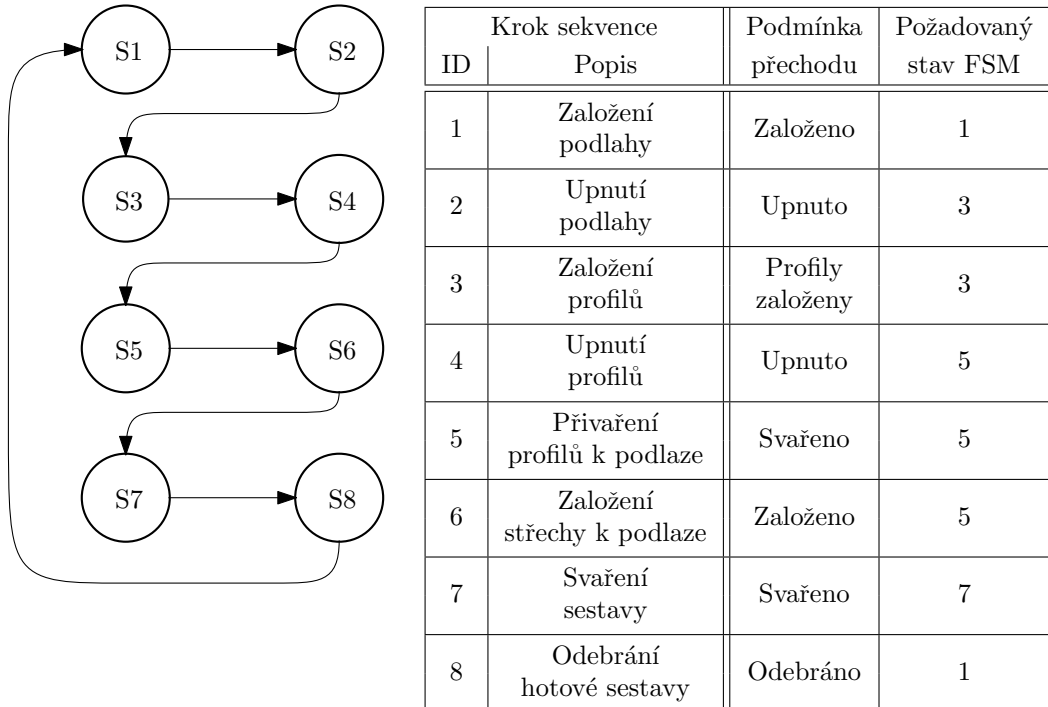
**Obr. 3.13:** Jednotlivé kroky procesu sváření v přípravku 110051

Svařovací přípravek 110051 je objektivně nejsložitějším celkem pracoviště. Vzhledem k množství aktuátorů, je pro přehlednost v tabulce stavového automatu uveden pouze slovní popis stavů bez výčtu jmen a požadovaných stavů jednotlivých aktuátorů. Stavy, jejichž popis obsahuje slovo *příprava*, odkazují na situaci, kdy je nutné určitou skupinu fixačních válců přesunout do pracovní pozice pomocí válců přesunu. Z tabulky a diagramu je zřejmé, že pro přechod mezi stavůmi existuje jen jedna povolená cesta. Nedodržení této cesty by vedlo ke kolizím.

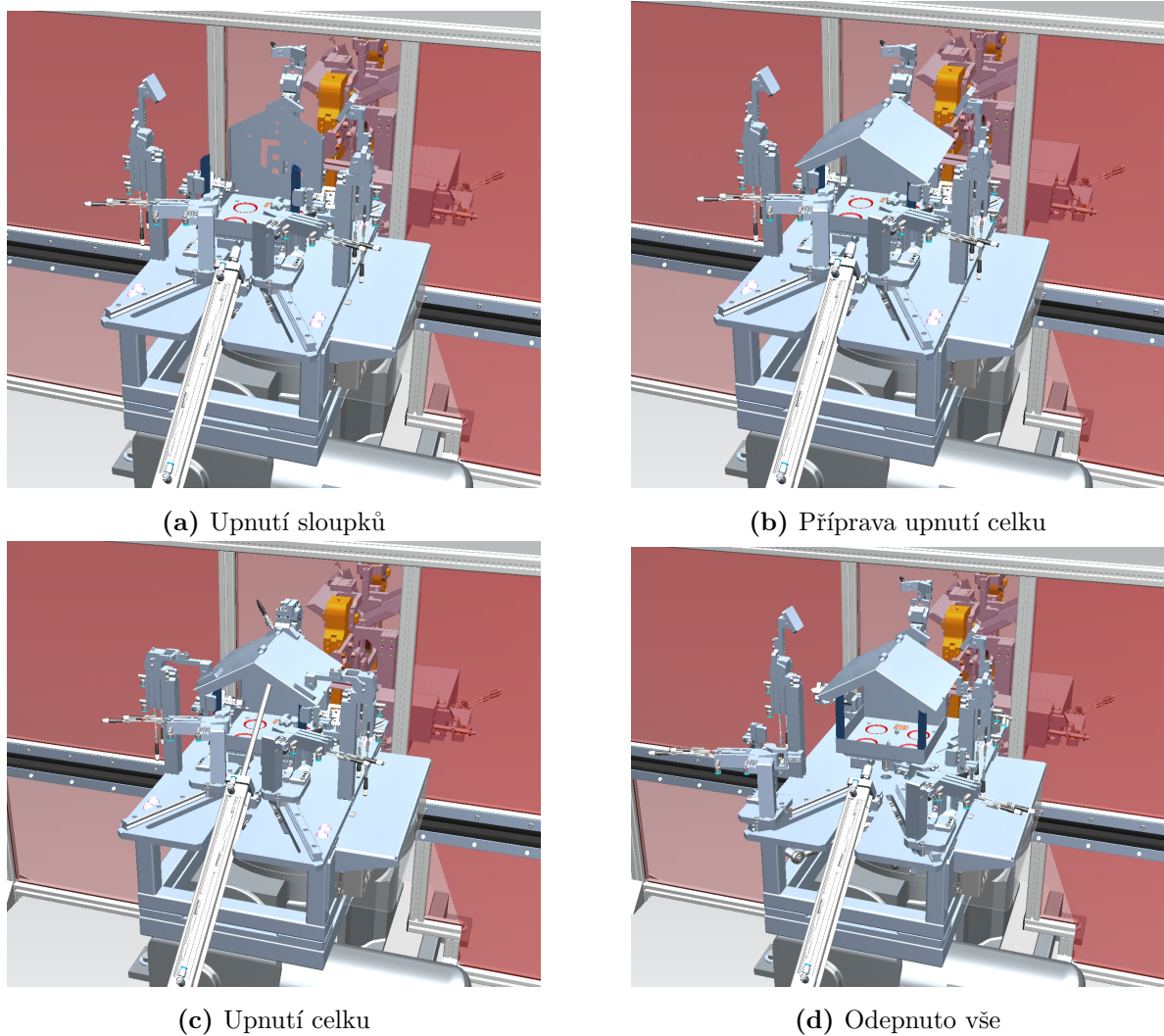


Obr. 3.14: Stavový automat stanice AFO51

Automatická sekvence přípravku



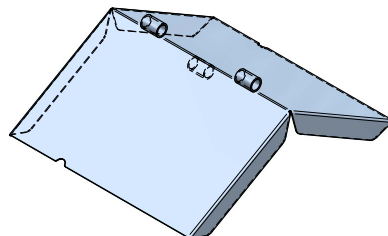
Obr. 3.15: Automatická sekvence svařovacího přípravku 110051



Obr. 3.16: Pracovní pozice svařovacího přípravku 110051

3.7.2 110052 - svařovací přípravek střechy

V přípravku 110052 je dokončena podsestava střechy. Přípravek fixuje kroužky a olemovanou střechu a umožňuje jejich svaření.

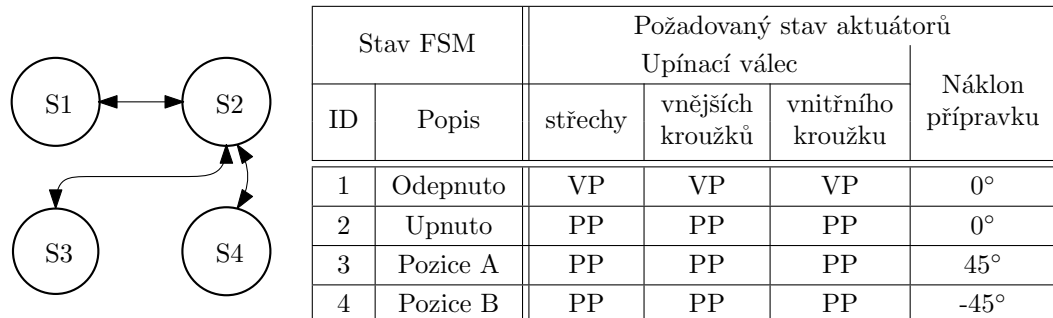


Obr. 3.17: Hotová podsestava střechy po zavaření kroužků

Svařovací přípravek 110052 upíná střechu a kroužky pomocí sady upínacích válců. Další dvojice válců (ZS02 a ZS03) tvoří naklápěcí mechanismus. Kombinace poloh těchto válců dovoluje naklopit celý přípravek do tří pozic: 0° , -45° a $+45^\circ$. To umožňuje přivařit jednotlivé kroužky ke střeše dostatečně kvalitně.

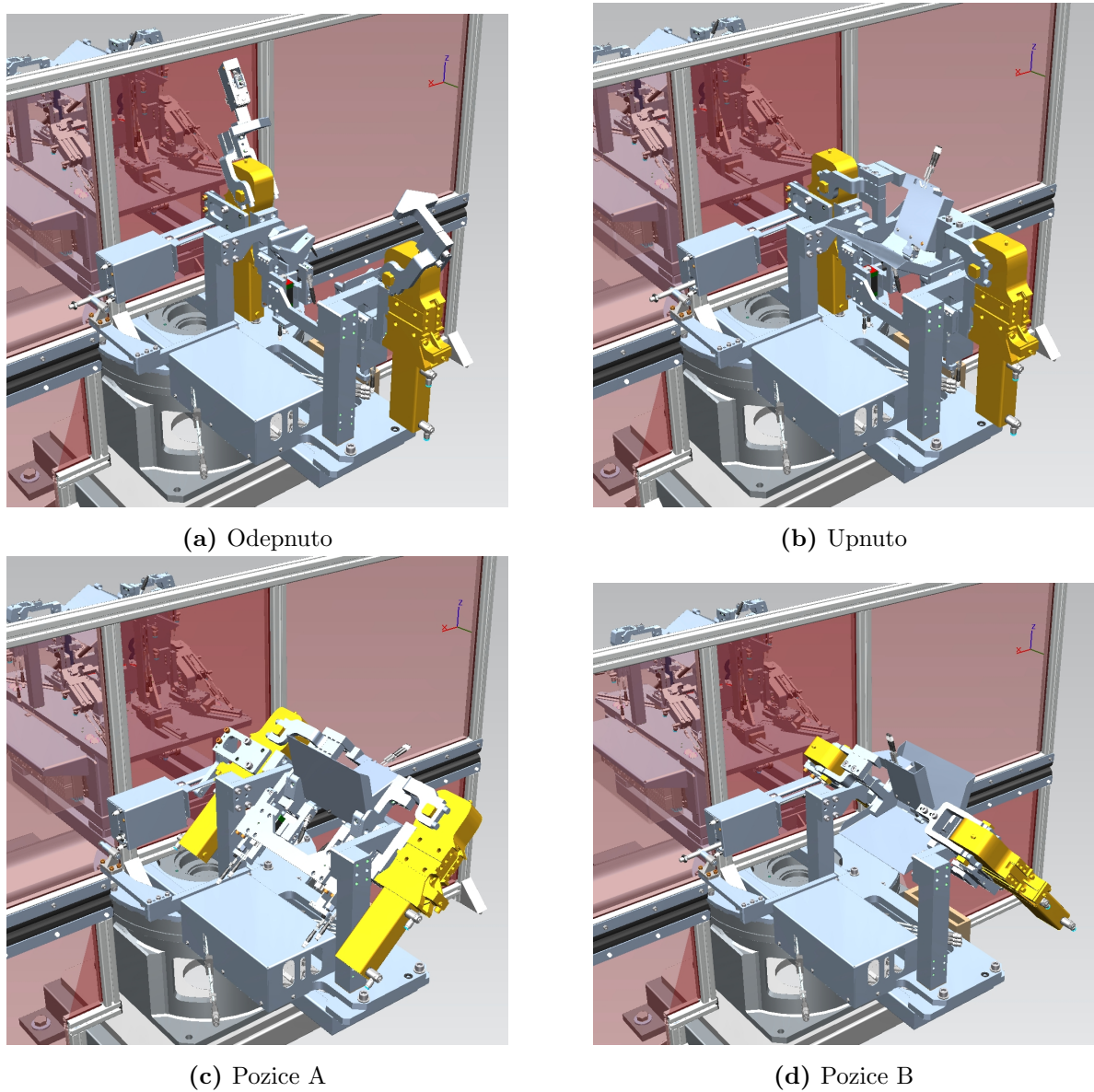
Stav válců		Stav náklonu
ZS02	ZS03	
VP	VP	Chybový stav
VP	PP	-45°
PP	VP	0°
PP	PP	$+45^\circ$

Tab. 3.6: Poloha naklápěcího mechanismu

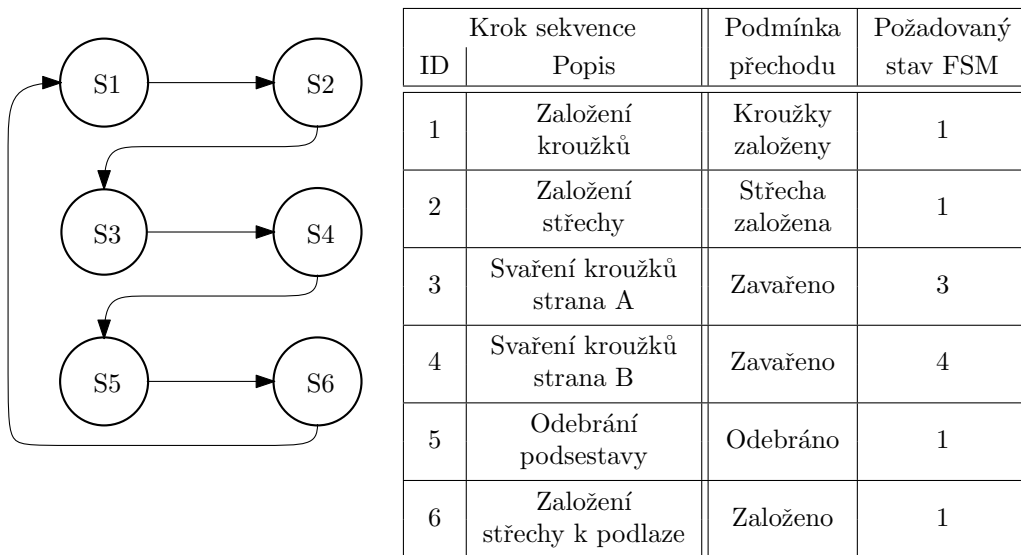


Obr. 3.18: Stavový automat stanice AFO52

Automatická sekvence



Obr. 3.19: Pracovní pozice svařovacího přípravku 110052



Obr. 3.20: Automatická sekvence přípravku 110052

Podmínky přechodu přípravku jsou řízeny výhradně na základě stavů ostatních operací pracoviště a signálů Hotovo robotů. Pro přechody v rámci jiných operací viz obr. 3.3

4

Softwarová architektura

Cílem kapitoly je představit zvolenou softwarovou architekturu. Popis je v každé podkapitole strukturovaný způsobem shora dolů: nejprve jsou definované obecné požadavky, následně interface a nakonec implementace. Implementace je znázorněna zejména formou vývojových diagramů, stavových automatů a blokových schémat.

První část textu představí obecné požadavky kladené na architekturu bez popisu jejich implementace a stručně zdůvodňuje výhody jejich zavedení.

Druhá podkapitola v obecných rysech popisuje členění softwaru na komponenty a způsob jakým mezi nimi dochází k výměně dat.

4.1 Obecné požadavky:

1. *Modularita programu*

Modulární program se skládá z na sobě nezávislých modulů, které mezi sebou komunikují pomocí interface. Omezují se tím vazby mezi částmi programu a kód se pak stává lépe čitelný. Jednotlivé moduly jsou kompaktní a zaměřené na jednu konkrétní funkcionalitu, což přispívá k jejich snadné údržbě a testovatelnosti [9] Jak bude ukázáno následně, jedná se o klíčovou vlastnost softwarové architektury.

2. *Error Handling*

Architektura musí být připravena zohlednit možné chybové stavy na nejrůznějších úrovních řízení a vhodně na ně reagovat. Z toho pohledu je žádoucí rozlišovat několik kategorií chyb (safety-critical error, alarm, informační hláška, varování) a na každou být schopen reagovat odlišně: u některých například vyžadovat kvitování a u jiných ne.

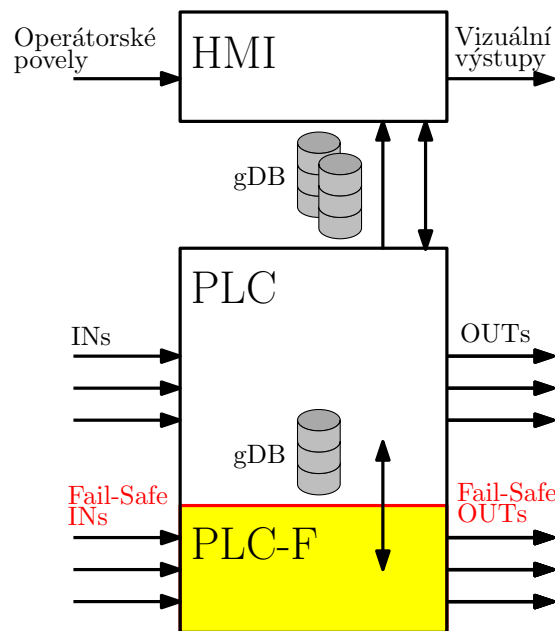
3. *Vizualizace a režimy pracoviště*

Nedílnou součástí pracoviště je operátorský panel, informující obsluhu o stavech jednotlivých prvků linky. Panel zároveň slouží k přepínání mezi různými režimy a k jejich obsluze.

Výše popsané vlastnosti tvoří základ celé architektury a jsou esenciálními prvky pro všechny softwarové konstrukce. Jejich konkrétní implementace je detailně popsána v následujících odstavcích.

4.2 Komponenty

Dělení software na komponenty vychází z různé povahy zpracovávaných vstupů a poskytovaných výstupů, a dále z dělení software na PLC a HMI část. Pro výměnu informací mezi komponentami slouží gDB.



Obr. 4.1: Rozdělení na komponenty

gDB tedy zastávají roli interface a podle povahy vyměňovaných informací mohou zajišťovat obousměrnou, popřípadě jednosměrnou komunikaci.

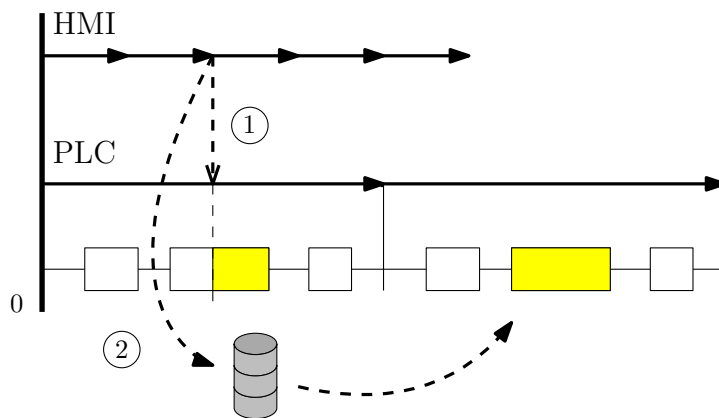
4.2.1 Architektura komponent

V obrázku je naznačeno, že v rámci obou hlavních komponent (PLC a HMI) je snaha dodržet princip modularity, a to i přes různý způsob implementace. V zásadě platí, že modul vytvořený v komponentě PLC má svůj obraz i v komponentě HMI.

Tento přístup tak umožňuje monitorovat a ovládat každý prvek pracoviště, který má v programu vytvořený svůj modul. Další výhodou je snadná modifikovatelnost a replikovatelnost; jednotlivé moduly mají v praxi několik instancí, takže pro změnu všech instancí modulu (například změna barevného schématu prvku válce na HMI) stačí modifikovat kód na jednom místě v programu.

4.2.2 Synchronizace mezi komponentami:

Protože PLC program i program operátorského panelu mají různě rychlý oběh programu, mohlo by docházet k hazardním stavům při nekoordinovaném čtení z HMI interface na straně PLC (situace (1)). Modul by pak nemusel mít platnou hodnotu signálu po celou dobu oběhu své programové smyčky, což by mohlo působit problémy například při ručním ovládání aktuátorů.



Obr. 4.2: Synchronizace mezi komponentami

Z tohoto důvodu jsou hodnoty z interface DB čteny vstupními interface jednotlivých modulů (situace (2)); tím je zaručeno, že uvnitř modulu, který k interface přistupuje, je hodnota platná po celou dobu vykonávání podprogramu modulu. V opačné situaci, kdy výstupní signály z PLC modulů vstupují přes interface do HMI, není synchronizaci nutné řešit, protože v takovém případě slouží HMI jen jako zobrazovací člen.

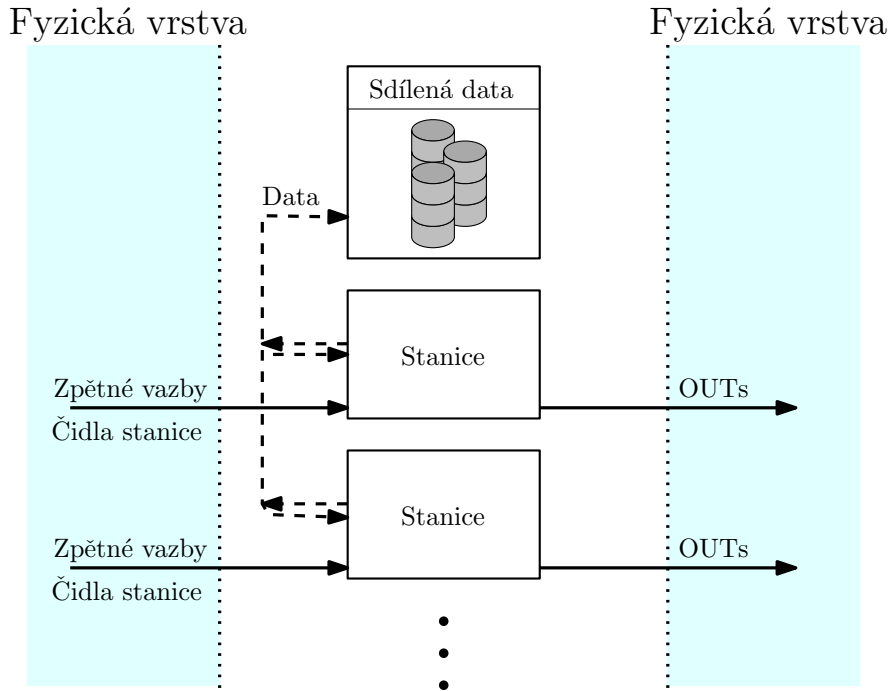
Stejně tak není nutné řešit synchronizaci komunikace mezi subkomponentami PLC programu (i přes různě dlouhé oběhy cyklů). Je to dané tím, že výstupy z safety části programu jsou v safety kritický situacích závislé pouze na safety vstupech jejichž platnost je v této subkomponentě zaručena.

4.2.3 Komponenta PLC programu

Architektura komponenty vychází z funkčního rozdělení linky na stanice. Stanice jako celek se tak stává největším modulem komponenty PLC programu.

Jak je patrné z blokového schématu, na fyzické úrovni musí interface modulu zajistit spínání výstupních cívek aktuátorů a kontrolu jejich zpětných vazeb. Modul stanice dále zpracovává ostatní signály stanice (čidla přítomnosti dílů, odbavovacího tlačítka ...). S ostatními moduly je zajištěna komunikace formou dat v sdíleném datovém prostoru. Do tohoto prostoru přispívají všechny stanice informacemi o stavu svých sekvencí.

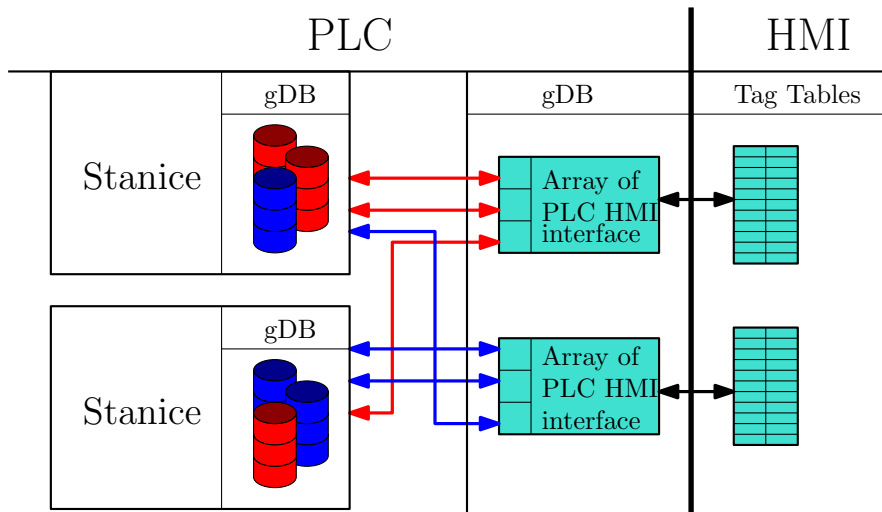
Moduly v rámci komponenty komunikují pomocí iDB jednotlivých modulů. I když jsou tyto bloky paměti v rámci softwaru (tzn i napříč všemi komponentami) viditelné a přístupné celé, jsou jako interface striktně využívány pouze vstupní, výstupní a vstupně-



Obr. 4.3: Komponenta PLC programu

výstupní parametry iDB. Statické proměnné jsou rezervované jako privátní paměťový prostor modulu.

Jak již bylo zmíněno, jako interface mezi komponentou PLC a HMI slouží strukturované gDB. GDB mají formu pole sdílených informací (není nutné sdílet veškerý datový obsah modulu) konkrétní instance, jejíž data jsou sdílena mezi komponentami. Pro každý modul komunikující s HMI komponentou tak existuje jedno gDB obsahující pole o celkovém množství daných prvků použitých na lince.



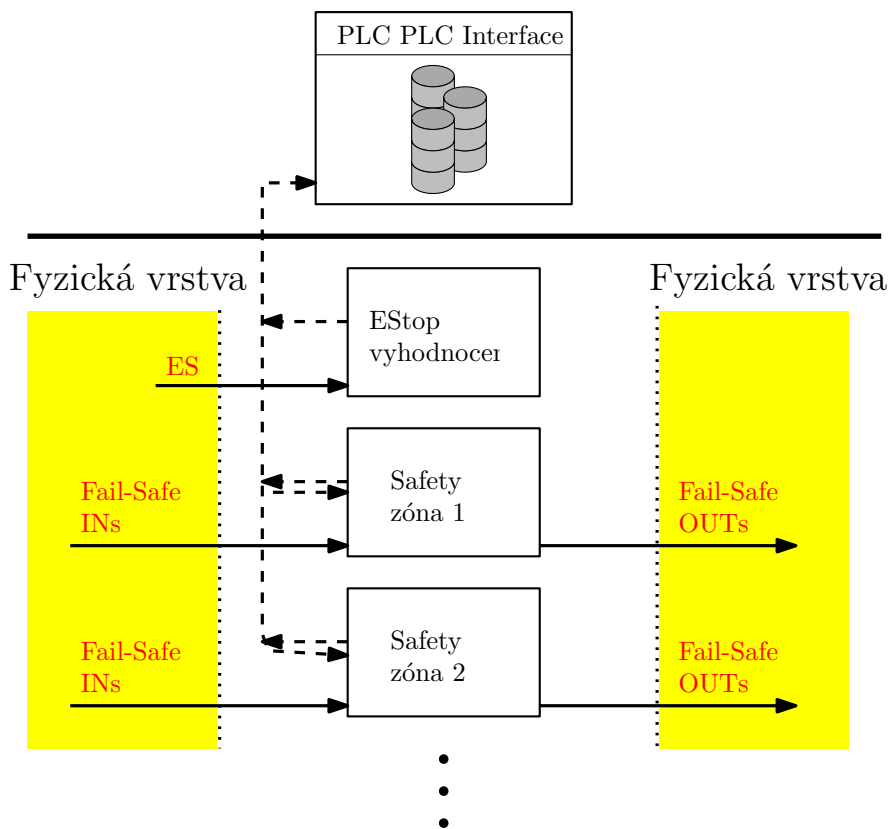
Obr. 4.4: Interface mezi PLC a HMI

Důvod pro zvolení této formy je možnost indexace jednotlivých prvků pole, čehož využívá implementace vizualizace.

Komponenta obsahuje ještě jednu sadu gDB (každá stanice po jedné) jejíž účel je popsat stavový automat formou dat.

4.2.4 Komponenta PLC safety programu

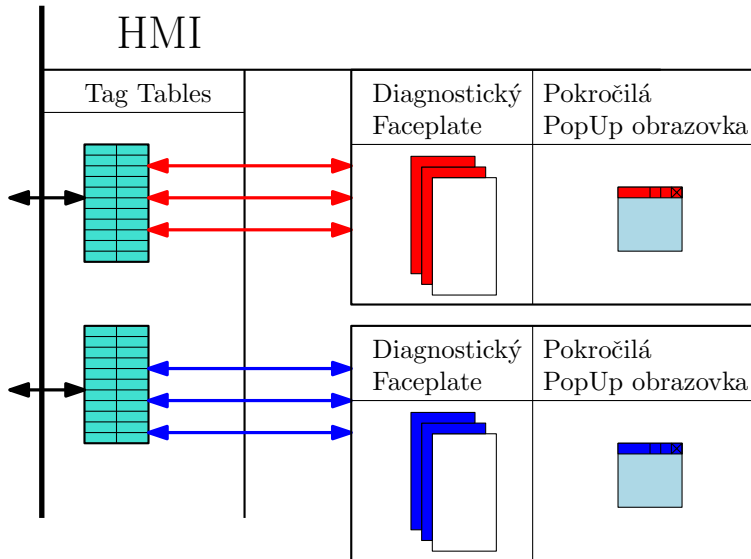
Komponenta zajišťuje spínání bezpečných potenciálů pracovišť na základě signálů od Fail-Safesenzorů a signálů z nouzových okruhů. Protože implementace je v tomto případě poměrně přímočará a k ovládání výstupů slouží standardizované certifikované bloky poskytované protředím TIA Portal, tak není přistoupeno k členění komponenty na moduly. Místo toho je komponenta dělena na sekce podle spínaného potenciálu. Pro komunikaci v rámci komponenty a mezi komponentami platí stejné principy popsáne v podkapitole výše.



Obr. 4.5: Komponenta safety PLC programu

Komponenta HMI programu

Jak vyplývá z [předchozího odstavce o komponentě PLC programu], architektonicky jsou si komponenty HMI a PLC velmi podobné (viz obrázek). Největší rozdíl je několikanásobná forma implementace modulů v komponentě HMI. Několikanásobná implementace vyplývá z potřeby více forem zobrazení jednoho modulu. Důvodem k tomu je premisa, že vizualizace má ve výchozím stavu poskytovat pouze přehled o stavech prvků na lince a pokročilé funkce uživateli nabídnout až při jejich vyžádání.



Obr. 4.6: Komponenta HMI programu

Komponenta tedy definuje dvě formy zobrazení prvku: diagnostický a pokročilý. Úlohou diagnostické formy je poskytnout pouze základní diagnostiku o stavu prvku. Tato forma je úsporná a umožňuje diagnostikovat jen základní stavy. Funkce pro servisní ovládání a pokročilou diagnostiku jsou pak součástí pokročilého režimu. Hlavní snímek tedy zobrazuje prvky pouze v diagnostickém režimu. Pro aktivaci pokročilého režimu je nutné na prvek kliknout, tím se zobrazí vyskakovací okno s dalšími možnostmi. Uplatnění tohoto principu přispívá k přehlednější a čistší vizualizaci.

5

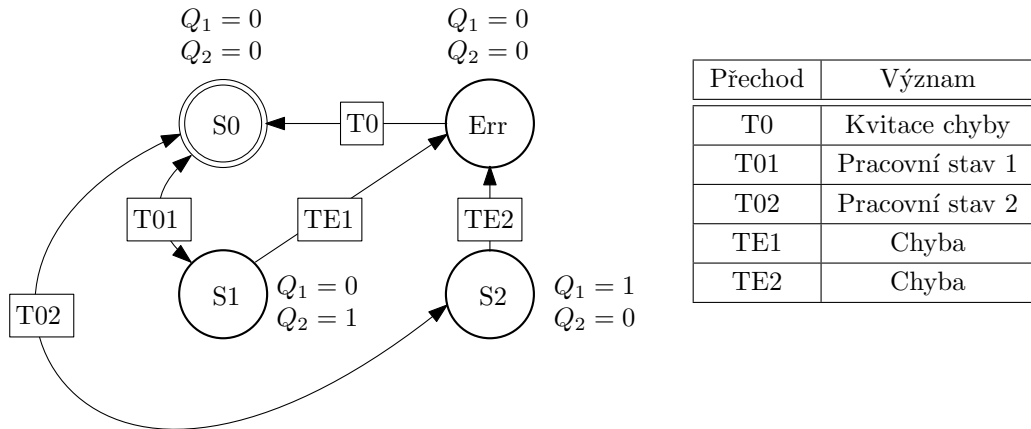
Design komponenty PLC

Kapitola pojednává o designu jednotlivých modulů a programových bloků v rámci komponenty PLC. Detailně popisuje koncept Stanice (obecně popsáný v odstaci Komponenta PLC programu) a jejích jednotlivých programových bloků.

5.1 Actuator

Blok pro řízení aktuátoru představuje nejmenší ucelený programový celek. Jak je vidět z kapitoly 3.2, škála použitých aktuátorů na pracovišti je omezená (a jejich řízení formálně stejné), což umožňuje vytvořit jeden univerzální blok.

Stavový automat popisující takový aktuátor lze znázornit následujícím způsobem:



Obr. 5.1: Stavový automat aktuátoru

Ve výchozím stavu S0 jsou oba výstupy aktuátoru resetované. Situace trvá do doby, než dojde k přechodu T01 nebo T02. Tyto přechody představují povel pro určitý pracovní stav. Ze schématu je zároveň vidět, že přechod je možné učinit i opačným směrem (z pracovního do výchozího stavu). To umožňuje vypnutí aktuátoru.

V případě chyby jsou vynuceny chybové přechody TE1 nebo TE2. Jako chybé situace jsou kvalifikovány následující události:

1. Překročení kritické doby nesouladu zpětné vazby
2. Ztráta zpětné vazby
3. Nevyžádaná zpětná vazba

Je-li aktivována zpětná vazba pracovního stavu 2 při požadavku na pracovní stav 1 nebo obráceně. Tato chyba je kvalifikována jako kritická a dochází k okamžitému vynucení přechodu TE1 nebo TE2.

Přechod T0 je umožněn pouze při odstranění poruchy a kvitaci chyby prvku. Do té doby zůstává aktuátor pasivován.

Parametrisace

Uvedené chování aktuátorů je sice univerzálně použitelné, nicméně je možné setkat se s požadavkem, aby se různé aktuátory (nebo skupiny aktuátorů) chovali odlišně, například nevyžadovali kvitování. Proto je přistoupeno k parametrisaci aktuátoru. Tou lze nastavit:

1. Nutnost kvitování aktuátoru

Během chyby se aktuátoru resetují výstupy, ale jeho opětovné zprovoznění nevyžaduje kvitaci.

2. Resetování výstupů při chybě

Lze nastavit, že při chybě 1 a 2 nedojde k resetování výstupů. Na chybu 3 parametrisace nemá vliv, protože tato chyba je kvalifikovaná jako kritická a proto ji nelze přemostit.

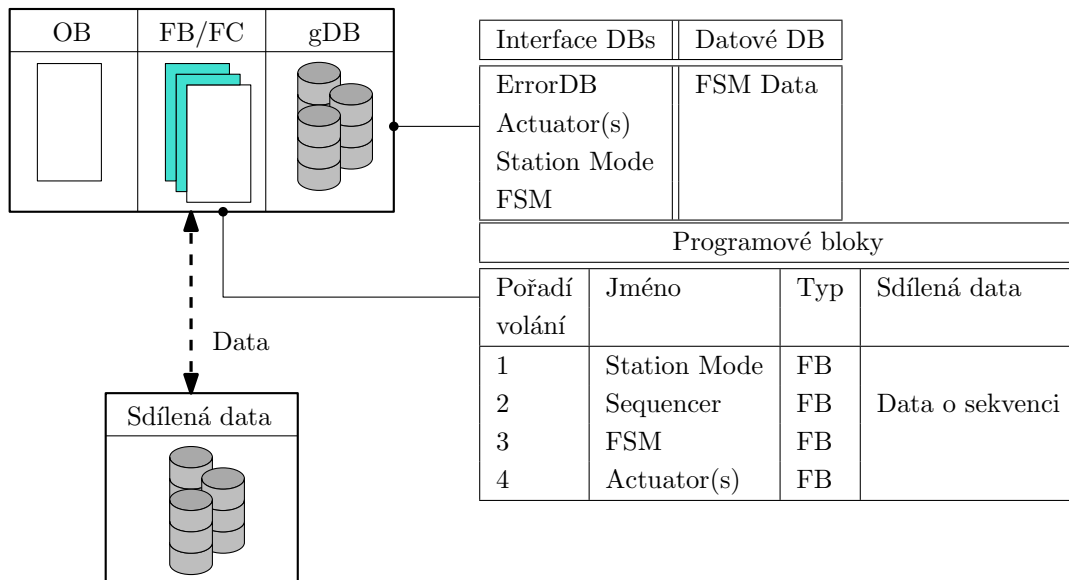
3. Kritická doba nesouladu zpětné vazby s pracovním stavem 1

4. Kritická doba nesouladu zpětné vazby s pracovním stavem 2

5.2 Station

Stanice jsou koncipovány jako nezávislé celky, jejichž primární úlohou je řízení aktuátorů podle sekvence výrobního procesu. Všechny stanice jsou formálně shodné, liší se pouze v počtu instancí aktuátorů a datech určujících výrobní sekvenci.

Základní blokové schéma modulu ilustruje obrázek 5.2.



Obr. 5.2: Design modulu stanice

Ze schématu je vidět, že se stanice sestává z:

- OB
V daném pořadí postupně volá všechny programové bloky stanice. Priorita volání samotného OB v rámci hlavní programové smyčky je daná ID číslem stanice (OB).
- FB/FC programových bloků
Implementují všechny potřebné funkcionality stanice. Jednotlivým blokům se věnují následující podkapitoly.
- gDB
Jedna část tvoří interface mezi komponentami (viz odstavec 4.2.3 obrázek 4.4), druhá obsahuje data popisující sekvenci (viz)

Protože z hlediska výrobního procesu je nutné mezi stanicemi vyměňovat informace, poskytuje každá stanice Data o stavu své sekvence do sdíleného datového prostoru (viz obrázek 5.2 nebo 4.3). Odtud jsou přístupná ostatním stanicím, které na jejich základě mohou řídit svoje sekvence.

Uvedeným způsobem dochází k sdílení pouze dat bloku Sequencer. Tím je minimalizováno ovlivňování mezi stanicemi.

5.3 Station Mode

Station Mode poskytuje ostatním blokům PLC (a obsluze formou diagnostiky) aktivní provozní režim. Protože provozní režim je klíčový parametr pro řízení všech procesů na lince, jedná se o první volaný blok. Na straně HMI blok zpracovává požadavky na změnu režimu a poskytuje přehled o stavu safety prvků na stanici.

Design rozlišuje mezi třemi módy ve dvou kategoriích. Kategorii je určena globálně polohou ***servisního klíčku***, dodatečná volba je pro modul individuální.

Kategorie	Výchozí	Pokročilý
Automat	Plně automatický	StepMode
Ruční režim		Údržba

Tab. 5.1: Provozní módy stanice

Charakteristika módů je následující:

1. Plně automatický

Výchozí mód v kategorii Auto. Stanice se chová plně autonomně a následuje předepsanou výrobní sekvenci. HMI poskytuje pouze diagnostiku a neumožňuje ovládat žádný aktuátor nebo FSM.

2. Semi-automatický (krokový)

Narozdíl od Plně automatického režimu, je přechod do dalšího kroku sekvence nutné potvrdit stisknutí tlačítka na HMI nebo fyzického odbavovacího tlačítka pracoviště.

3. Režim údržby

HMI umožňuje udělovat povely jak FSM, tak jednotlivým aktuátorům. Aktuátory nejsou v tomto módu blokované, takže je možné dostat se do kolizního stavu. To neplatí pro blok FSM, který následuje zapsanou sekvenci.

Protože některé podmínky startu režimů závisí na stavu safety prvků stanice, jsou tyto informace součástí interface bloku. Interface viz tab 5.2

Station Mode		
Směr	Jméno	Datový Typ
IN	bKeyAuto	Bool
IN	bKeyMT	Bool
IN	Safety	Safety_UDT
IN/OUT	HMI	StationHMI_UDT
OUT	CurrMode	Mode_UDT

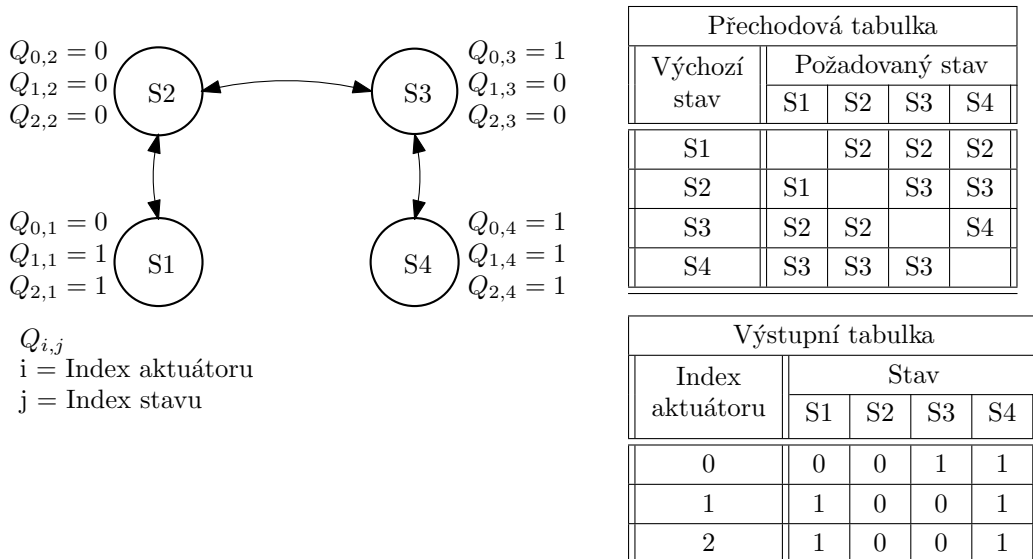
Tab. 5.2: Interface FSM

Stavový automat implementace bloku je na obrázku.

5.4 FSM

Blok implementuje obecný konečný stavový automat. Design je navržený tak, že umožňuje realizovat libovolný automat o jakémkoliv množství výstupů a stavů (určeno globálními konstantami).

Způsob implementace ilustruje stavový automat lemovacího přípravku na obr 5.3. Jak je z něj patrné, automat je plně určen dvěma tabulkami (výstupní a přechodovou).



Obr. 5.3: Ukázka stavového automatu lemovacího přípravku

Přechodová tabulka popisuje všechny přechody mezi stavů a úlohou modulu je následování předpsané cesty od výchozího stavu *Start State* do požadovaného *Next State*. Například při požadavku na přechod ze stavu 1 do stavu 4, projde automat postupně stavů 2 a 3. Výstupy aktuátorů v jednotlivých stavech určuje výstupní tabulka.

Ze znázorněného algoritmu je patrné, že v případě chyby jsou výstupy aktuátorů resetovány.

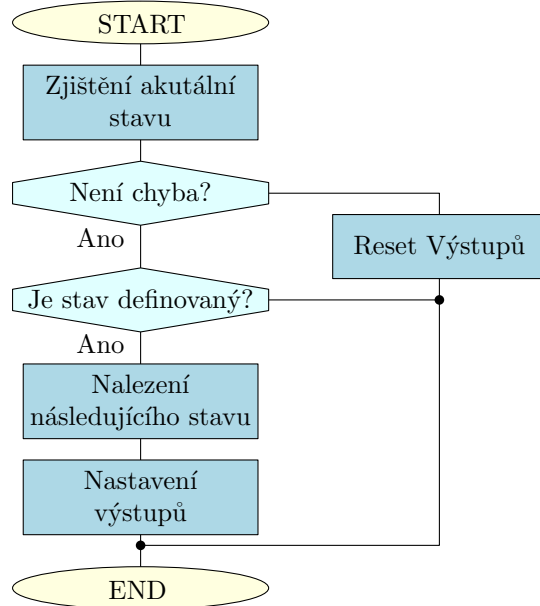
Pro splnění požadované funkcionality je nutné modulu poskytnout informace o aktuálních stavech aktuátorů a požadovaném stavu. Modul následně poskytuje informaci o aktuálním stavu a povely pro jednotlivé aktuátory. Interface je zobrazený v tab 5.3

V porovnání s naprogramovaným stavovým automatu přímo v kódu PLC programu je jasné, že uvedená implementace je výpočetně náročnější. Důvodem je zjevně fakt, že pro identifikaci aktuálního stavu musí blok zahrnovat algoritmus prohledávání dvourozměrného pole o rozměrech [počet stavů ; počet aktuátorů]

Oproti standardnímu přístupu, je tedy složitost větší minimálně přímo úměrně počtu stavů automatu.

Další zjevnou nevýhodou je, že aby mohl být FSM popsáný touto formou provozován, musí se nacházet v definovaném stavu. To nemusí být splněno například po startu linky. V takovém případě je tedy nutná kooperace obsluhy.

Výhodou je na druhou stranu univerzálnost bloku a snadná změna stavového automatu pouze změnou dat.



Obr. 5.4: Implementace stavového automatu

FSM Module		
Směr	Jméno	Datový typ
IN	CurrMode	Mode_UDT
IN	SpState	USInt
IN	StateTable	Array [1..#, 1..#]of USInt
IN	TransitionTable	Array [1..#, 1..#]of USInt
IN	CurrStates	Array [1..#, 1..#]of USInt
IN/OUT	HMI	FSMHMI_UDT
OUT	CurrStat	USInt
OUT	SpStates	Array [1..#, 1..#]of USInt

Tab. 5.3: Interface FSM

V následující části je ukázka implementovaného kódu FB FSM. Možnosti bloku mohou být rozšířeny o signál *Uvolněno* (lze vyřadit nastavení na TRUE) a IMSTP (okamžitý stop).

V horní části kódu jsou definované použité datové typy (Mode_UDT a FSM) a pomocná funkce ValidityStateCheck.

```

TYPE "Mode_UDT"
VERSION : 0.1
STRUCT
    Auto : Bool;      // Rezim automat
    Rucne : Bool;     // Rezim rucne
END_STRUCT;

END_TYPE

TYPE "FSM"
VERSION : 0.1
STRUCT
    SpState : USInt;
END_STRUCT;

END_TYPE

FUNCTION "FC_ValidityStateCheck" : Bool
{ S7_Optimized_Access := 'TRUE' }
VERSION : 0.1
VAR_INPUT
    SpState : USInt;      // Pozadovany stav
    Table : Array [* , *] of USInt;    // Tabulka stavu
END_VAR

BEGIN
    #FC_ValidityStateCheck :=
        (#SpState >= LOWERBOUND(ARR := #Table , DIM := 1)) &
        (#SpState <= UPPERBOUND(ARR := #Table , DIM := 1));
END_FUNCTION

FUNCTION_BLOCK "FB_FSM"
{ S7_Optimized_Access := 'TRUE' }
VERSION : 0.1
VAR_INPUT
    Mode : "Mode_UDT";
    IMSTP : Bool;
    SpState : USInt;

```

```

Uvolneno : Bool;
ACK_IMSTP : Bool;
END_VAR

VAR_OUTPUT
  CurrStateO : USInt; // Aktualni stav pripravku
END_VAR

VAR_IN_OUT
  StateTable : Array[*, *] of USInt;
  TransitionTable : Array[*, *] of USInt;
  SpStates : Array[*] of USInt;
  CurrState : Array[*] of USInt;
  HMI : "FSM";
END_VAR

VAR
  IMSTP : Bool;
END_VAR

VAR_TEMP
  i : Int;
  j : Int;
  CurrState : USInt;
  SpStateTmp : USInt;
  SpStateMux : USInt;
END_VAR

BEGIN
IF #IMSTP THEN
  #IMSTP := TRUE;
ELSE
  IF #ACK_IMSTP THEN
    #IMSTP := FALSE;
  END_IF;
END_IF;

IF #IMSTP OR (#Mode.Auto & NOT #Uvolneno) THEN
  GOTO IMSTP;

```

```

END_IF;

REGION CURR_STATE_CHECK

FOR #i :=
    LOWER_BOUND(ARR := #StateTable, DIM := 1) TO
    UPPER_BOUND(ARR := #StateTable, DIM := 1)
DO
    FOR #j :=
        LOWER_BOUND(ARR := #StateTable, DIM := 2) TO
        UPPER_BOUND(ARR := #StateTable, DIM := 2)
    DO
        #CurrState := "AktuatorIdle";

        IF #CurrStates[#j] <> #StateTable[#i, #j] THEN
            IF ((#CurrStates[#j] AND "AktuatorErr") <> 0) THEN
                #CurrState := "AktuatorErr";
            END_IF;
        EXIT;
        ELSE
            #CurrState := INT_TO_USINT(#i);
        END_IF;
    END_FOR;

    IF #CurrState <> 0 THEN
        EXIT;
    END_IF;

END_FOR;

#CurrState := #CurrState;

END_REGION

REGION ERROR_STATE_CHECK

IF #Mode.Auto THEN
    #SpStateMux := #SpState;
ELSIF #Mode.Rucne THEN
    #SpStateMux := #HMI.SpState;

```

```
ELSE
    RETURN;
END_IF;

IF NOT "FC_ValidityStateCheck"
    (SpState := #SpStateMux, Table := #StateTable)
    OR
    NOT "FC_ValidityStateCheck"
    (SpState := #CurrState, Table := #StateTable)
THEN
    RETURN;
END_IF; //Kontrola platnosti povelu

END_REGION Kontrola chyb a platnosti povelu

#SpStateTmp := #TransitionTable[#CurrState, #SpStateMux];

FOR #i :=
    LOWERBOUND(ARR := #SpStates, DIM := 1) TO
    UPPERBOUND(ARR := #SpStates, DIM := 1)
DO
    #SpStates[#i] := #StateTable[#SpStateTmp, #i];
END_FOR;

RETURN;

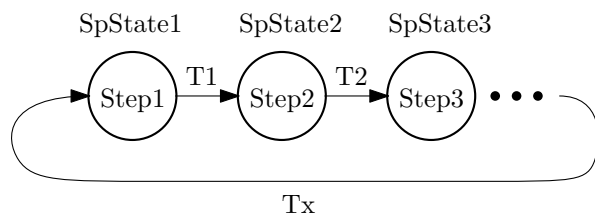
IMSTP:

FOR #i :=
    LOWERBOUND(ARR := #SpStates, DIM := 1) TO
    UPPERBOUND(ARR := #SpStates, DIM := 1)
DO
    #SpStates[#i] := "AktuatorIdle";
END_FOR;
END_FUNCTION_BLOCK
```

5.5 Sequencer

Blok sequencer řídí automatickou sekvenci stanice. V jednotlivých krocích určuje požadovaný stav FSM a po splnění přechodové podmínky přechází do dalšího kroku. Ačkoliv se konkrétní implementace bloku sequencer pro každou stanici liší (rozdílný počet kroků, jiné přechodové podmínky), všechny obsahují určité společné prvky, které popisuje následující text.

Automatické sekvence jednotlivých pracovních stanic jsou popsány v kapitole 3. Jedná se o jednoduché stavové automaty s jedinou možnou cestou: v případě splnění přechodové podmínky postupují do následného kroku, popřípadě se vrací do některého kroku předchozího). Každý blok sequencer stanice pouze realizuje jeden tento automat.



Obr. 5.5: Modelový stavový automat automatické sekvence

Konkrétní softwarová realizace je uvedena na zobecněném příkladu z obrázku 5.5. Pro přechod do dalšího stavu sekvence je nutné splnit podmínky:

1. Úkovaný FSM je v požadovaném stavu

Každý krok automatické sekvence **musí** definovat požadovaný stav FSM. V kroku StepX se tedy kontroluje, zda skutečný stav FSM stanice odpovídá SpStateX. Splnění této podmínky zároveň znamená, že **krok sekvence je validní**, její nesplnění, značí chybu a krok automatické sekvence stanice je označen jako nevalidní. Podmínka má smysl zejména při spolupráci několika stanic.

2. Čidla stanice (ne zpětné vazby aktuátorů) splňují zadané podmínky

Každý krok **musí** zajistit kontrolu všech čidel přítomnosti dílů stanice. V případě, že se nacházejí v předepsaném stavu je podmínka splněna. Kontrola zpětných vazeb aktuátorů není nutná, protože je zahrnuta v implementaci bloku FSM. V případě chyby aktuátoru je vyvolána i chyba příslušného FSM a to způsobí, nesplnění podmínky 1.

3. Automatická sekvence jiné stanice je v předepsaném kroku a tento krok je validní
Podmínka **může** být zahrnuta v případě spolupráce několika stanic. Je jí nepřímo kontrolovaný požadovaný stav spolupracující pracovní stanice.

Podmínka 1 a 2 zajišťuje, že pro přechod do dalšího kroku se stanice musí nacházet v definovaném stavu z pohledu stavu veškerých aktuátorů a veškeré senzoriky. V opačném případě se jedná o chybu, která neumožní pokračování ve výrobní sekvenci. Zahrnutí

podmínky 3 je nepovinné. Je zahrnuta nejčastěji v případě, kdy je sekvence řízena robo-tickými signály *Hotovo*.

5.6 Robot

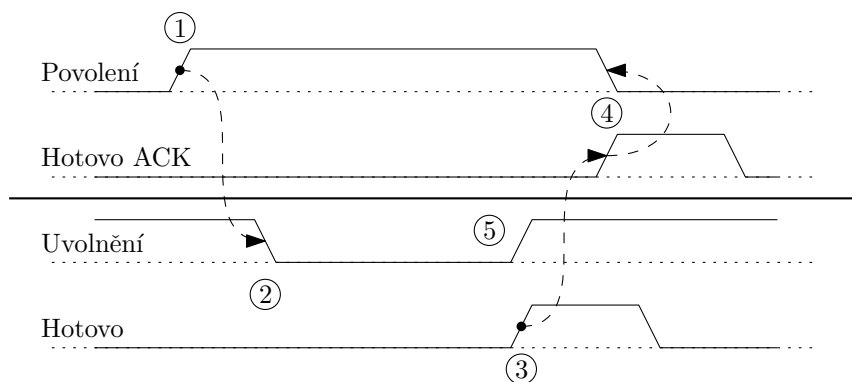
Blok zprostředkovává komunikaci s robotem, zajišťuje startovací sekvenci a v průběhu výroby řídí jeho činnost. Řízení činnosti probíhá na principu Master Slave, kdy robot je vůči PLC slave. Následující kapitola popisuje princip řízení robota z pohledu komuni-kace mezi PLC a robotem.

Jsou definovány následující čtyři řídící signály. Ty jsou použité pro řízení každé jedné operace robota.

Jméno	Význam	Směr komunikace
Povolení	Požadavek na odstartování práce	PLC → Robot
Uvolnení	Práce přijata blokování pracovní zóny	Robot → PLC
Hotovo	Práce dokončena	Robot → PLC
Hotovo ACK	Potvrzení od PLC	PLC → Robot

Tab. 5.4: Řídící signály komunikace PLC robot

Jejich časová souslednost v bezchybovém stavu je zobrazena na diagramu.



Obr. 5.6: Komunikace mezi PLC a robotem

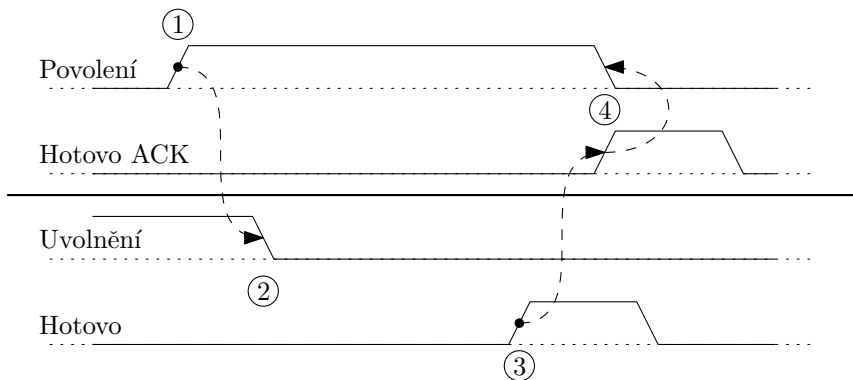
Význam označených časových okamžiků je následující:

- (1) PLC povoluje robotu činnost
- (2) Robot informuje o zahájení činnosti a blokuje pracovní zónu
- (3) Dokončení činnosti

④ HandShake signálu Hotovo, reset signálu Povolení

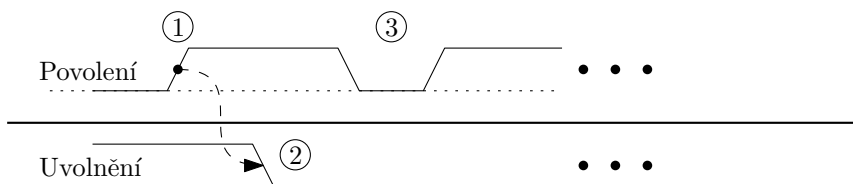
⑤ Uvolnění pracovní zóny

Diagram 5.6 zobrazuje situaci, kdy robot po dokončení činnosti uvolní pracovní zónu. V případě, že po dokončení činnosti pracovní zónu robot stále blokuje, zůstává příslušný signál uvolnění nadále resetovaný. Signál Uvolnění se vrací do původního stavu až ve chvíli skutečného uvolnění pracovní zóny.



Obr. 5.7: Blokování zóny robotem po dokončení činnosti

Signál Povolení je robotem monitorován cyklicky. V případě, že v průběhu provádění operace dojde k jeho resetu (okamžik ③ v obr. 5.8), robot zastavuje činnost. Pokud se následně úroveň signálu obnoví a robot zůstal na pracovní dráze, může pokračovat v činnosti.



Obr. 5.8: Ztráta povolení

6

Design komponenty HMI

Kapitola popisuje vizualizaci pracoviště E-Robot. V úvodní části je představena hlavní obrazovka a stručně popsány ovládací prvky na ní obsažené. Následně jsou pro ilustraci uvedeny další dvě obrazky pracovišť. Další část je dělena na sekce podle jednotlivých programových modulů popsaných v kapitole 5. V těchto sekčích je prezentován způsob vizualizace těchto modulů.

Všechny prezentované objekty modulů jsou dynamické. Jejich symbolická pojmenování, pojmenování čidel, diagnostické hlášky a podobně jsou uloženy v interface gDB na straně PLC. Objekty jsou díky tomu schopny tvořit instance, zobrazující stav konkrétního modulu pracoviště. Forma interface gDB je realizována formou pole (viz 4), konkrétní modul tedy předsatuje jeden prvek pole.

6.1 Obrazovky HMI

HMI panel obsahuje sadu obrazovek a sadu vyskakovací obrazovek. Účelem obrazovek je zobrazovat stavy čidel přítomnosti dílů jednotlivých stanic a sdružovat ikony aktuátorů na stanici použitých. Vyskakovací obrazovky na druhou stranu slouží k dynamickému linkování informací modulů aktuátor, FSM a Stanice.

V dalším textu jsou pro ilustraci uvedeny pouze tři obrazovky. Zbytek obrazovek je vytvořen analogicky.

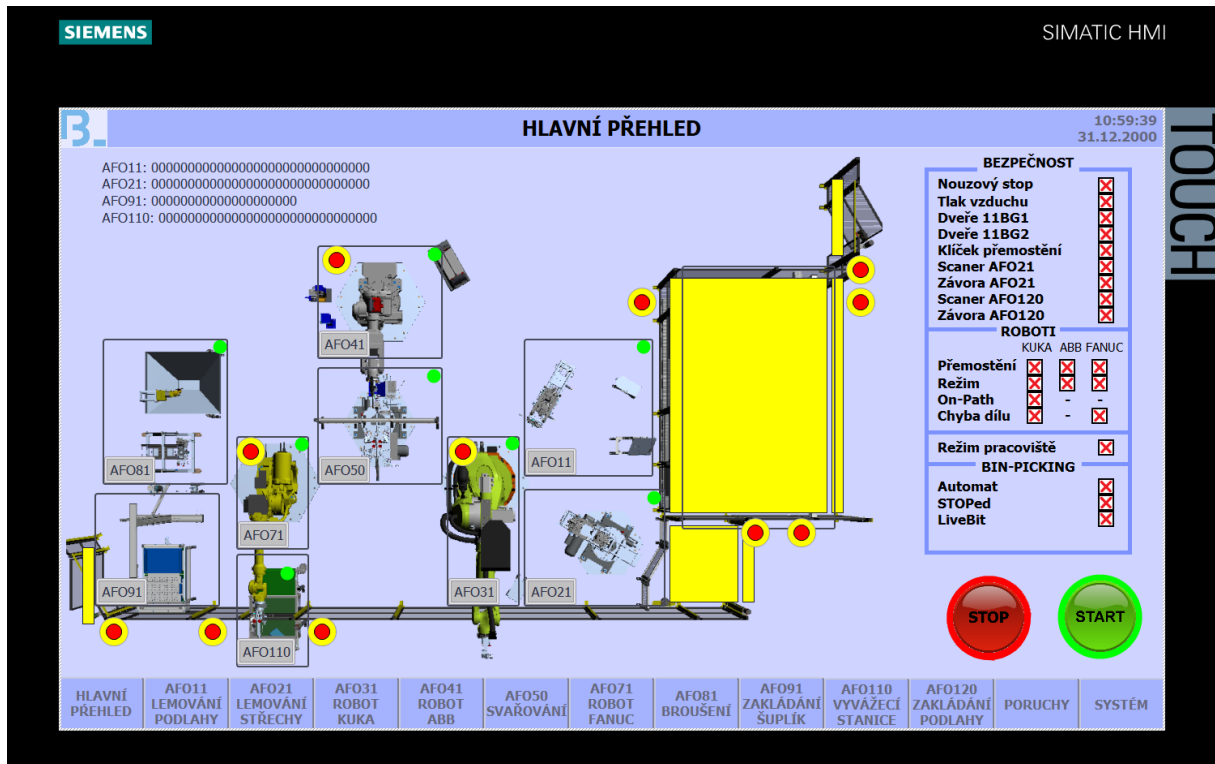
6.1.1 Hlavní přehled

Obrazovka slouží jako rozcestník na další obrazovky a zobrazuje základní přehled pracoviště, zejména stavy ES a ostatních bezpečnostních prvků. Je inicializována po startu HMI.

Na hlavní obrazovce je operátorovi umožněno jednak odstartování automatické sekvence všech stanic, dále aktivování žádosti o její zastavení. Další možností hlavního přehledu je aktivování vyskakovacího okna vybrané stanice.

Stanice jsou graficky odděleny obdélníky, které slouží zároveň jako tlačítka. Jejich stiskem je vyvoláno vyskakovací okno Stanice (viz dále vyskakovací okna). To obsahuje diagnostiku a speciální ovládací prvky.

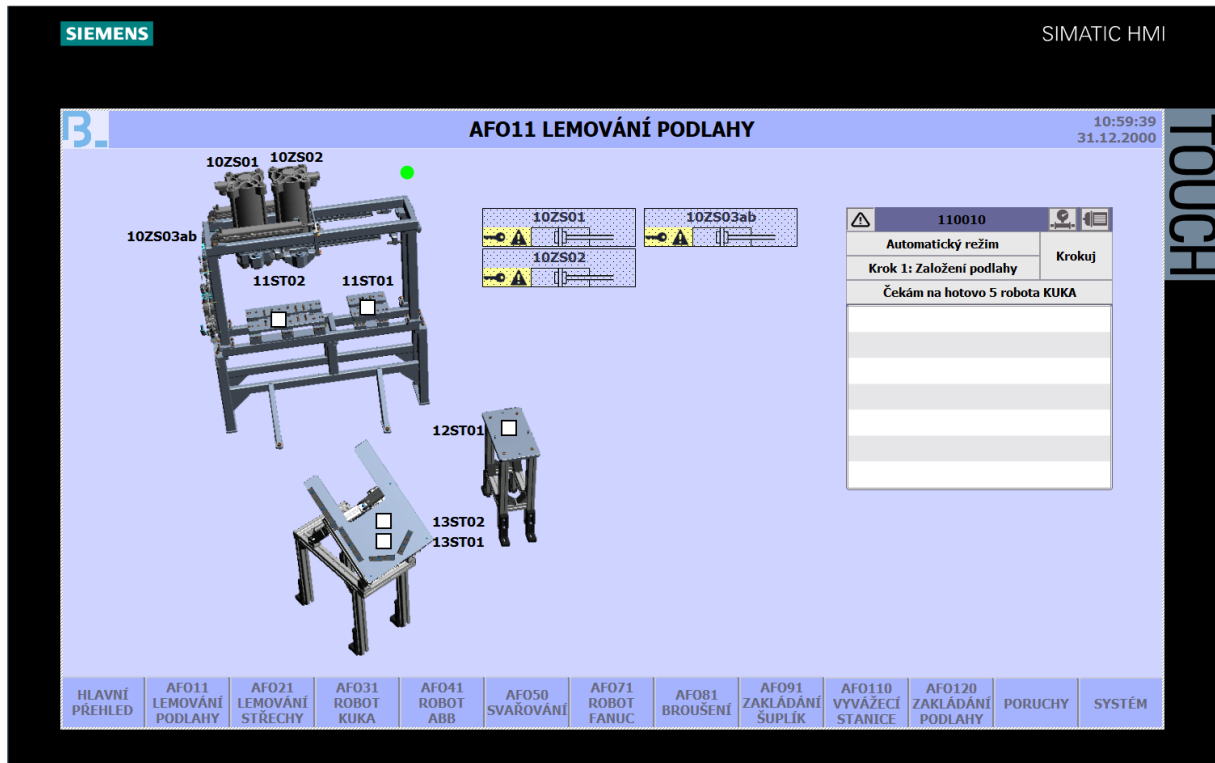
Spodní menu umožňuje přepínat mezi obrazovkami.



Obr. 6.1: Hlavní obrazovka

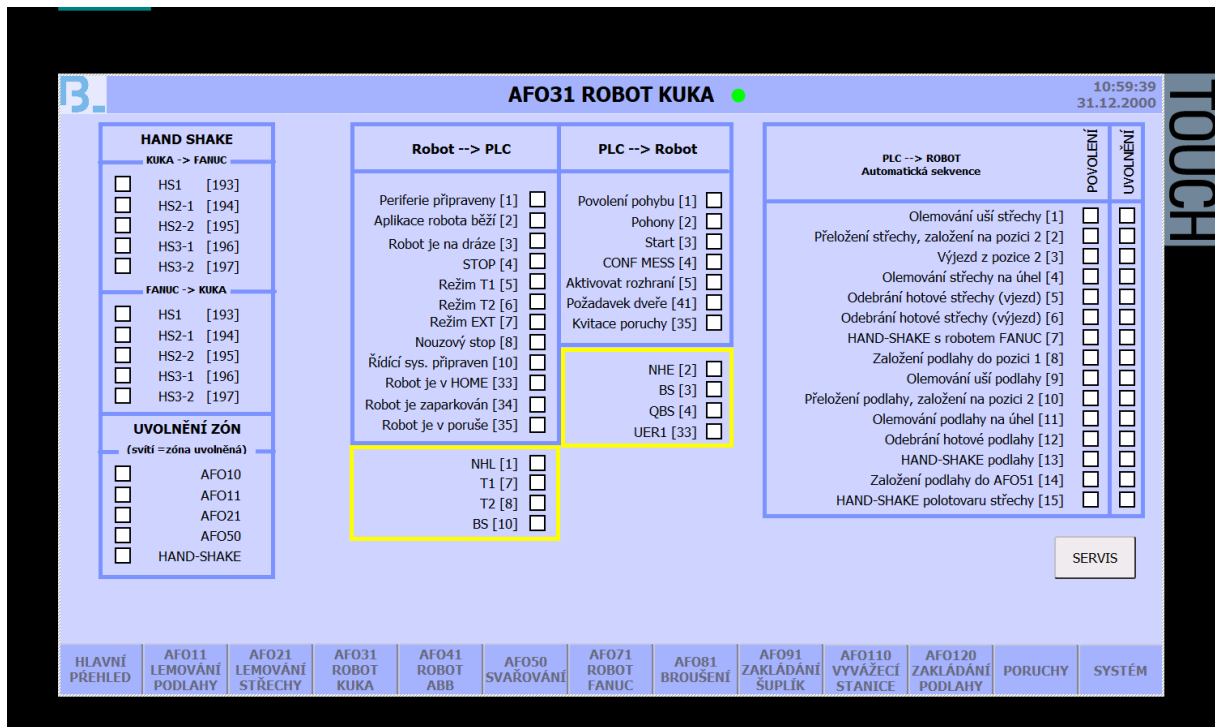
6.1.2 Obrazovka stanice

Obrazovka konkrétní stanice je zobrazena na obrázku níže. Sdružuje informace o čidlech přítomnosti dílů, ikony použitých aktuátorů a podobrazovku Stanice. Podobrazovka stanice je v tomto případě umístěna přímo na obrazovce a není vyvolána formou vyskakovacího okna.



Obr. 6.2: Obrazovka stanice 110010

V jistém smyslu vymykajícími se obrazovkami je trojice obrazovek zobrazujících systémové signály pro komunikaci s roboty. Na obrázku je zobrazena obrazovka robota KUKA.



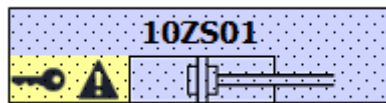
Obr. 6.3: Obrazovka robota KUKA

6.2 Ikony

Implementace bloku aktuátoru je v PLC programu realizována shodně nezávisle na tom, zda se jedná o motor nebo válec. Pro potřeby vizualizace je ovšem vhodné mezi nimi rozlišovat a to z hlediska přehlednosti. Liší se tedy forma zobrazení, přenášená data zůstavají stejná.

6.2.1 Válec

Každý válec pracoviště je na snímku stanice zobrazen následujícím způsobem:



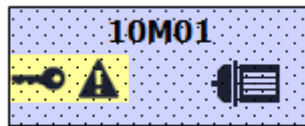
Obr. 6.4: Způsob zobrazení válce na hlavní obrazovce

Ze zobrazení je patrné symbolické pojmenování válce a jeho aktuální stav. Ikona válce se mění v závislosti na poloze pístu válce daného koncovými čidly. V případě chyby (signál z obou čidel najednou) nebo absence těchto signálů je poloha válce zobrazena tak, jak uvádí obrázek.

Dalšími prvky jsou výstražný trojúhelník a ikona klíčku. Podbarvení trojúhelníku symbolizuje chybu válce, podbarvení klíčku jeho přesouvání (jeden z výstupů ovládající ventil je aktivní).

6.2.2 Motor

Stejná situace jako pro válec platí pro motor. Jediný rozdíl je v grafické reprezentaci ikony umístěné na hlavním snímku:



Obr. 6.5: Způsob zobrazení motoru na hlavní obrazovce

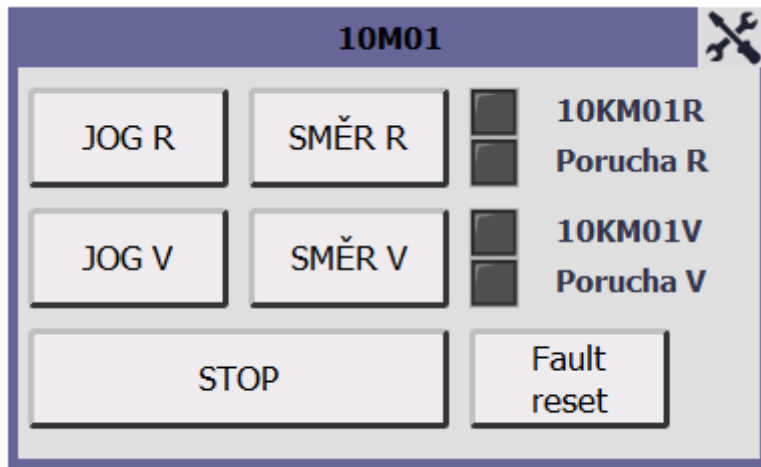
Každá ikona válce i motoru zobrazená na hlavní obrazovce funguje zároveň jako tlačítko. Jeho stiskem je vyvolána vyskakovací obrazovka Aktuátor.

6.3 Vyskakovací okna

Vyskakovací obrazovky jsou vyvolány stiskem některého z virtuálních tlačítek na HMI.

6.3.1 Aktuátor

Obrazovka je vyvolána stiskem ikony válce nebo motoru.



Obr. 6.6: Vyskakovací obrazovka pro ovládání aktuátoru

Umožňuje v ručním režimu kontrolovat aktuátor a obsahuje diagnostické informace. Symbol v pravém horním rohu informuje o aktuálně zvoleném režimu. Nabývá dvou hodnot a odráží stav klíčku pracoviště.

Dalšími diagnostickými informacemi jsou signály senzorů zpětných vazeb (XXKMYYV a R) a informace o případné poruše. Pětice tlačítek umožňuje ruční ovládání prvku.

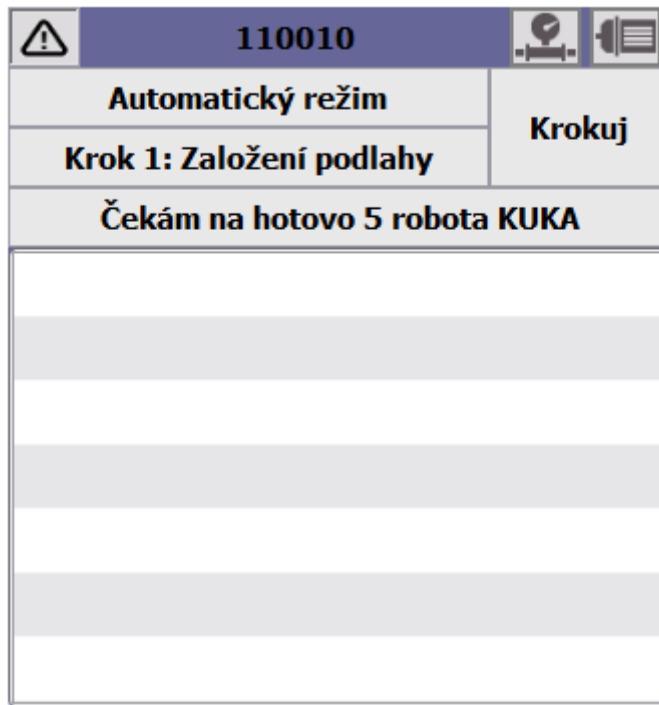
Tlačítko JOG spíná konkrétní výstup jen pokud je stisknuto a jeho uvolněním dojde k resetování příslušného výstupu. Tlačítko SMĚR naproti tomu sepne daný výstup trvale. STOP tlačítko vynutí okamžitý reset obou výstupů.

Tlačítko Fault reset se uplatňuje jen u aktuátorů, které jsou nakonfigurované tak, že při chybě vyžadují kvitaci. U ostatních se toto tlačítko nezobrazuje.

6.3.2 Stanice

Vyskakovací okno stanice je vyvolána stiskem ohraničujícího obdélníku stanice na hlavním snímku.

Zobrazení má zejména informovat obsluhu o aktuálním prováděném kroku automatické sekvence, chybách a případné očekávané akci.



Obr. 6.7: Vyskakovací obrazovka stanice

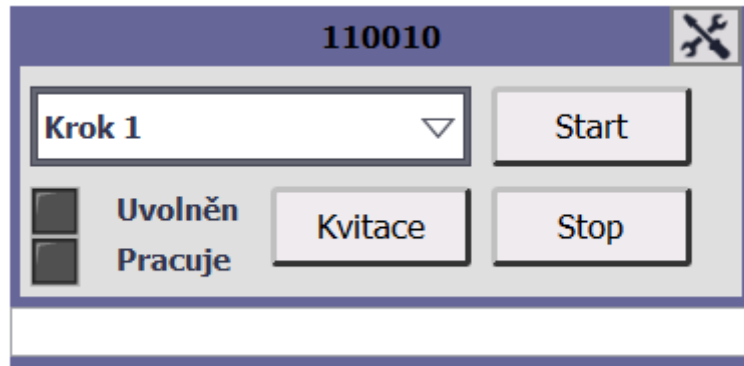
Horní část obrazovky obsahuje název stanice, výstražný trojúhelník a dvojici ikon. Trojúhelník stejně jako u aktuátoru informuje o přítomnosti chyby (chyba jakéhokoliv prvku stanice). Dvojice ikon odkazuje na stav Fail-Safevýstupů stanice. Ikony jsou podbarvené zeleně v případě sepnutí bezpečnostního přívodního ventilu stlačeného vzduchu (levá ikona) nebo pohonů motorů (pravá).

Další prvky okna informují o aktuálně navoleném režimu a umožňují ho změnit (viz 5.3). Tlačítko Krokuj slouží pro krování sekvence v krovém režimu. Dále obrazovka obsahuje popis právě prováděného kroku a diagnostickou hlášku přiřazenou konkrétní situaci. Tyto hlášky jsou popsané individuálně v PLC pro každou stanici / sekvenci.

Spodní část obrazovky obsahuje soupis aktivních alarmů stanice. Jejich filtrování je zajištěno na základě jména stanice.

6.3.3 FSM

Grafická reprezentace bloku FSM zajišťuje možnost ručního ovládání a diagnostiku. Obrazovky s ovládacími prvky jsou přístupné po aktivaci příslušné ikony FSM.



Obr. 6.8: Vyskakovací obrazovka FSM

Požadovaný stav se volí pomocí rozbalovacího kontextového menu a aktivuje tlačítkem Start. Obsah kontextového menu je shodný s popisem stavů v kapitole 3.

Tlačítkem Stop dojde k vypnutí výstupů všech aktuátorů FSM bloku. Kvitačním tlačítkem lze najednou kvitovat veškeré chyby vyskytující se na akutátorech FSM.

Spodní část obrazovky informuje obsluhu o aktuálním stavu FSM. Stejně jako kontextové menu jsou příslušná textová hlášení vytvořená individuálně na základě konkrétního FSM.

7

Virtuální zprovoznění

Kapitola se věnuje tématu virtuálního zprovoznění robotického pracoviště. V úvodní části obecně popisuje koncept virtutálního zprovoznění a virtuálního dvojčete, v další části se pak věnuje rešerži softwarových produktů, které virtuální zprovoznění umožňují. Závěr kapitoly je zaměřen na podrobnějsí popis použitého řešení.

Virtuální zprovoznění umožňuje simulaci chování pracoviště nebo jeho celku v počítačovém prostředí. Nad touto simulací lze provádět různé testy a zkoumat, zda se model pracoviště chová podle očekávání. Zjevnou výhodou tohoto přístupu je možnost včasného objevení chyb a jejich náprava ještě ve fázi návrhu. Nevýhodou je ovšem časová náročnost přípravy modelu a jeho netriviální obsluha.

Pro simulaci jakéhokoliv celku je nejprve nutné vytvoření jeho modelu - virtuálního dvojčete - v počítačovém prostředí. Tento model je nejčastěji tvořen na základě 3D dat z nějakého CAD softwaru, ale prakticky se může jednat i o jakoukoliv jinou abstrakci. Podle požadovaných cílů simulace se tedy může podoba digitálního dvojčete lišit. Například virtuální dvojče robotického pracoviště bude mít jinou podobu v simulaci zaměřující se na dynamické chování a v simulaci zaměřující se na tok materiálu.

V různých typech simulací je také možné pracoviště do určité míry zjednodušit a chování některých prvků zanedbat. V příkladu simulace materiálového toku bude možná účelnější simuloval chování výrobních stanic pracoviště jako celku (například z hlediska časové náročnosti operací), než simuloval dopodrobna dynamiku válce.

7.1 Softwarové alternativy

Následující seznam uvádí různé alternativy softwaru podporujícího virutální zprovoznění.

- KUKA.Sim

Simulační nástroj výrobce robotů KUKA, který umožňuje pomocí virtuálního kontroléru programovat roboty stejné značky. Software zahrnuje možnost importování CAD dat a obsahuje knihovnu používaných prvků v automatizačním průmyslu (dopravník, válec ...). Software je možné pomocí OPC-UA rozhraní propojit s PLC

různých značek (Siemens, Beckhoff) Jedná se o podpůrný testovací nástroj, který není určený pro simulování větších celků. Pro aplikace malého rozsahu umožňuje ověřit základní předpoklady (kolize, takt). Další nevýhodou je nemožnost virtuálního zprovoznění robotů jiných značek.

- RobotStudio

Jedná se o softwarový produkt společnosti ABB a nabízí podobné možnosti jako KUKA.Sim. Stejnou nevýhodou je nemožnost simulace jiných robotických kontroléru než ABB.

- Virtual Universe Pro

Software umožňuje simulovat rozsáhlější celky než výše jmenované nástroje. Stejně jako předchozí jmenované umožňuje importovat CAD data a obsahuje zabudovanou knihovnu základních prvků. Samozřejmostí je propojení s reálným nebo simulovaným PLC a HMI. Nevýhodou software je, že neobsahuje simulace robotického kontroléru a proto není možné detailní simulace chování robotického programu.

- Process Simulate

Profesionální nástroj vyráběný společností Siemens. Integruje všechny vlastnosti výše jmenovaných softwarů a jako jediný z nich umožňuje simulovat robotické kontroléry široké řady výrobců. V prostředí process simulate je tedy možné provést detailní studii robotického pracoviště z pohledu robotického programu i programu PLC.

7.2 Process Simulate

Odstavec představuje použitý způsob simulace pracoviště E-Robot ve virtuálním prostředí Process Simulate.

Digitální dvojče pracoviště E-Robot zahrnuje 3D modely všech akčních prvků a senzorů pracoviště. Jednotlivé modely aktuátorů mají nasimulovanou dynamiku a umožňují tedy vykonávání stejných pohybů jako na reálném pracovišti.

Součástí simulace aktuátorů je i simulace senzorů zpětných vazeb. Koncová čidla válců reagují stejně jako v reálném prostředí, takže k jejich sepnutí dochází až při vyjetí pístu válce do určité úrovni. Stejným způsobem se chovají i vačkové snímače na hřídelích motorů. Díky tomu je možné věrně ověřit chování jednotlivých FSM a posloupnost vykonávaných akcí.

7.2.1 Simulační sestava

Simulační sestava se skládá z reálného PLC, simulační jednotky účastníků na ProfiNET sběrnici SIMULATION UNIT a stolního počítače se simulací v prostředí Process Simulate.

Na stolním počítači je ještě navíc spuštěna simulace HMI. Sestava tak obsahuje všechny prvky a zpracovávané vstupy a výstupy.

Z hlediska PLC programu je pro potřeby simulace nutný pouze export dat o hardwarové konfiguraci sítě. Tato data jsou nahrána do simulační jednotky SIMULATION UNIT, která emuluje chování těchto účastníků.

Reálné PLC se potom díky propojení s jednotkou nachází ve stejně síti a může přistupovat k fyzickým adresám ostatních účastníků stejně jako reálné PLC na pracovišti. Zapíše-li se tedy v prostředí Process simulate na adresu účastníka ProfiNET sítě nějaká informace je díky SIMULATION UNIT přístupná i pro PLC.

7.2.2 Roboti

Ačkoliv simulační prostředí umožňuje import robotických kontrolérů všech fyzicky přítomných robotů, z důvodů výpočetní náročnosti bylo nakonec přistoupne k simulaci všech robotů pomocí univerzálního kontroléru. Tím vznikl největší rozdíl mezi softwarem simulovaným ve virtuálním a reálném prostředí.

Dalším rozdílem byla nutnost dodržení pevně dané sekvence kroků v simulovaném prostředí. Potřeba pevně daného lineárního procesu vyvstala z čistě pragmatických důvodů jednodušší tvorby robotického programu ve virtuálním prostředí.

8

Závěr

Po seznámení s jednotlivými užívanými třídami Simatic se práce věnuje konstrukci pracoviště. Cílem kapitoly je vysvětlit technologii pracovního cyklu a popsat pracovní stavu každé stanice do té míry, aby byl způsob implementace programových bloků (zejména blok FSM a jeho tabulky) pochopitelný.

Kapitola o architektuře a designu komponenty PLC představuje nejobsáhlejší část práce. Pomocí stavových automatů a diagramů vysvětluje chování programových modulů a přibližuje způsob výměny dat mezi komponentami.

Největším praktickým přínosem z pohledu implementace se stává důsledné dělení funkce na moduly a snaha o dodržení objektově orientovaného přístupu. Ta se promítá i do designu HMI.

Vzhledem k experimentální povaze pracoviště bylo přistoupeno k popisu stavových automatů pomocí dat (stavové a přechodové tabulky). Popis chování skupiny aktuátorů touto formou umožňuje snadnou modifikaci chování stavového automatu a zaručuje bezkolizní provoz. Jeho nevýhodou v porovnání s klasickým přístupem popisu stavového automatu jsou výpočetní náročnost a větší nároky na datový prostor. Blok pro svůj provoz také vyžaduje definovaný počáteční stav. To může působit potíže při prvním spuštění pracoviště a je nutné blok uvést do nějakého definovaného stavu. Pro popsání jednoduché (a v čase neměnné) sekvence se tedy tento způsob implementace nejeví jako vhodný.

Praktickým testováním ve virtuálním prostředí byly ověřeny funkce jednotlivých programových modulů v komponentě PLC i HMI. Z tohoto pohledu byl přínos virtuálního oživení přínosný, protože se podařilo v poměrně krátkém čase (asi dva týdny) odladit jednotlivé programové moduly a potvrdit jejich funkci. Implementace se díky tomu na reálném pracovišti neměnila.

Na druhou stranu se nepodařilo plně otestovat automatickou sekvenci celého pracoviště a to z několika důvodů

1. Simulace robotických kontrolérů neodpovídala reálnému chování
Startovací sekvence a systémové řídící signály konkrétních robotů musely být upraveny na reálném pracovišti.

2. Roboti v simulačním prostředí následovali pouze lineární proces

Vzhledem k tomuto zjednodušujícímu předpokladu (který usnadnil konfiguraci na straně Process Simulate) bylo možné otestovat pouze pevně danou posloupnost akcí. Na reálném pracovišti mohou ale jednotlivé sekvence předbíhat jedna druhou a proces může být do jisté míry nelineární.

3. Nedostatečné projektové řízení

Projekt nebyl dostatečně kvalitně řízen, což vedlo k několikanásobným změnám v konceptu SW jak pro roboty i PLC. Navíc některé prvky pracoviště nebyly nikdy zprovozněny (nejsou uvedeny v této práci)

Literatura

- [1] Chen, Anna *History Of Siemens PLC*. Shenzhen Digital Life Electric Co.,Ltd 6.11.2018 [cit 26.5.2021] Dostupné z: <https://www.cnsiemensplc.com/news/history-of-siemens-plc-18853727.html>
- [2] Siemens, s.r.o. *Simatic S7-400*. Siemens, s.r.o. [cit 26.5.2021] Dostupné z: <https://new.siemens.com/cz/cs/products/automation/systems/industrial/plc/simatic-s7-400.html>
- [3] Siemens, s.r.o. *Data sheet 6ES7217-1AG40-0XB0*. [cit 26.5.2021] Dostupné z: <https://mall.industry.siemens.com/mall/cs/cz/Catalog/Product/6ES7217-1AG40-0XB0>
- [4] Siemens, s.r.o. *Data sheet 6ES7318-3EL01-0AB0*. [cit 26.5.2021] Dostupné z: <https://mall.industry.siemens.com/mall/cs/cz/Catalog/Product/6ES7318-3EL01-0AB0>
- [5] Siemens, s.r.o. *Data sheet 6ES7518-4AX00-1AC0*. [cit 26.5.2021] Dostupné z: <https://mall.industry.siemens.com/mall/cs/cz/Catalog/Product/6ES7518-4AX00-1AC0>
- [6] Siemens, s.r.o. *Delivery Release SIMATIC STEP 7 Professional / Basic V16*. 12.2.2019 [cit 26.5.2021] Dostupné z: <https://support.industry.siemens.com/cs/document/109771628/delivery-release-simatic-step-7-professional-basic-v16-?dti=0lc=en-AT>
- [7] Siemens, s.r.o. *What are the requirements for installing STEP 7 version V5.5?* 19.6.2013 [cit 26.5.2021] Dostupné z: <https://support.industry.siemens.com/cs/document/24059046/what-are-the-requirements-for-installing-step-7-version-v5-5-?dti=0dl=enlc=nl-NL>
- [8] Siemens, s.r.o. *Data sheet 6ES7515-2FM02-0AB0*. [cit 26.5.2021] Dostupné z: <https://mall.industry.siemens.com/mall/cs/cz/Catalog/Product/6ES7515-2FM02-0AB0>
- [9] Thomas, D., Hunt, A. *The Pragmatic Programmer*. 20th Anniversary edition, Pearson Education, Inc. ISBN-10: 0-13-595705-2